



数字图像处理

第 4 章

频率域图像增强

前章小结

➤ 灰度变换增强

- （图像反转、对数变换、幂次变换、分段线性变换）、

➤ 直方图统计增强

- （均衡化、规定化、直方图统计对增强处理的意义）

➤ 算术/逻辑操作增强

➤ 邻域处理增强：

- 空间平滑滤波器的均值滤波器和中值滤波器
- 空间锐化滤波器的拉普拉斯算子和梯度算子
- 去噪声和保细节的综合考虑

本章主要内容

- 图像频率域增强基本概念
- 图像傅立叶变换及其性质
- 空间域滤波和频率域滤波关系、卷积运算
- 频率域图像平滑基本概念
 - 巴特沃斯低通滤波器、高斯低通滤波
- 频率域图像锐化基本概念
 - 巴特沃斯高通滤波器、高斯高通滤波
- 同态滤波基本概念
- 空域和频域相结合的图像增强方法及应用

本章基本要求

➤ 基本要求

- 图像傅立叶变换、空域和频域处理的对应关系
- 掌握各种图象频率域增强算法的基本原理、应用特点和实现方法
- 学会结合实际需求，选择合适的增强算法进行图象处理，并分析处理结果
- 通过实践环节学会利用**Matlab**工具进行图象增强处理

§ 4.1 基本概念



- 4.1 频域滤波基本概念
- 4.2 平滑频域滤波（低通）
- 4.3 锐化频域滤波（高通）
- 4.4 带通和带阻滤波
- 4.5 同态滤波

§ 4.1 基本概念

- 频域增强是通过在频域的滤波处理来达到增强图象的目的
- 频域滤波的概念
 - 把图象用FFT变化到频域，将结果乘一个滤波函数再变回到空域，就实现了频域滤波。
 - 低通滤波无非是在频域中去掉了一些高频分量，高通滤波正好相反。
 - 从概念上来说在频域设计滤波器比较直截了当。但由于要经过正、反两次傅里叶变换，计算量较大，还是直接的空间滤波使用广泛。

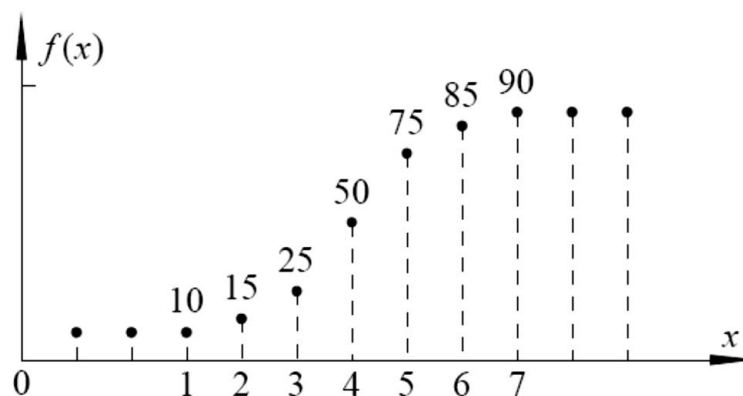
§ 4.1 基本概念—傅里叶变换

➤ 1-D离散傅立叶变换

正变换

$$F\{f(x)\} = F(u) = \frac{1}{N} \sum_{x=0}^{N-1} f(x) \exp[-j2\pi ux / N]$$

对1个连续函数 $f(x)$ 等间隔采样



§ 4.1 基本概念—傅里叶变换

N=4

正变换示例

$$F(u) = \frac{1}{N} \sum_{x=0}^{N-1} f(x) \exp[-j2\pi ux / N]$$

$$F(0) = \frac{1}{4} \{f(0) + f(1) + f(2) + f(3)\}$$

$$F(1) = \frac{1}{4} \{f(0) + f(1) \exp[-j\pi / 2] + f(2) \exp[-j\pi] + f(3) \exp[-j3\pi / 2]\}$$

$$F(2) = \frac{1}{4} \{f(0) + f(1) \exp[-j\pi] + f(2) \exp[-j2\pi] + f(3) \exp[-j3\pi]\}$$

$$F(3) = \frac{1}{4} \{f(0) + f(1) \exp[-j3\pi/2] + f(2) \exp[-j3\pi] + f(3) \exp[-j9\pi/2]\}$$

§ 4.1 基本概念--傅里叶变换

反变换

$$\mathcal{F}^{-1}\{F(u)\} = f(x) = \sum_{u=0}^{N-1} F(u) \exp[j2\pi ux/N]$$

变换表达

$$F(u) = R(u) + jI(u) = |F(u)| \exp[j\phi(u)]$$

频谱（幅度）

$$|F(u)| = [R^2(u) + I^2(u)]^{1/2}$$

相位角

$$\phi(u) = \arctan[I(u)/R(u)]$$

§ 4.1 基本概念—傅里叶变换

➤ 1-D离散傅里叶变换的特别说明

➤ 基本性质

➤ 线性、尺度、时移、平移

➤ 周期性

➤ 时域离散化 (T_s) \rightarrow 频域周期性重复 ($\omega_s = 2\pi / T_s$) —频域序列长度

➤ 频域离散化 (ω_1) \rightarrow 时域周期重复 ($T_1 = 2\pi / \omega_1$) —时域序列长度

➤ 实函数的奇偶性

➤ 频域函数实部是 ω 的偶函数, 虚部是 ω 的奇函数

➤ 频域幅频特性是 ω 的偶函数, 相频特性是 ω 的奇函数

➤ $F(\omega)$ 和 $F(-\omega)$ 共轭对称

➤ 频域函数的高频与低频

➤ $|F(\omega)|$ 低频在 $\omega=0$, 也就是频域序列最前端

➤ $|F(\omega)|$ 高频在 $\omega=\omega_s/2$, 也就是频域序列最中间

§ 4.1 基本概念—傅里叶变换

➤ 2-D离散傅立叶变换

变换公式

$$F(u, v) = \frac{1}{N} \sum_{x=0}^{N-1} \sum_{y=0}^{N-1} f(x, y) \exp[-j2\pi(ux + vy) / N]$$

$$f(x, y) = \frac{1}{N} \sum_{u=0}^{N-1} \sum_{v=0}^{N-1} F(u, v) \exp[j2\pi(ux + vy) / N]$$

频谱（幅度）

$$|F(u, v)| = [R^2(u, v) + I^2(u, v)]^{1/2}$$

相位角

$$\phi(u, v) = \arctan[I(u, v) / R(u, v)]$$

§ 4.1 基本概念--傅里叶变换

2-D傅立叶变换性质-分离

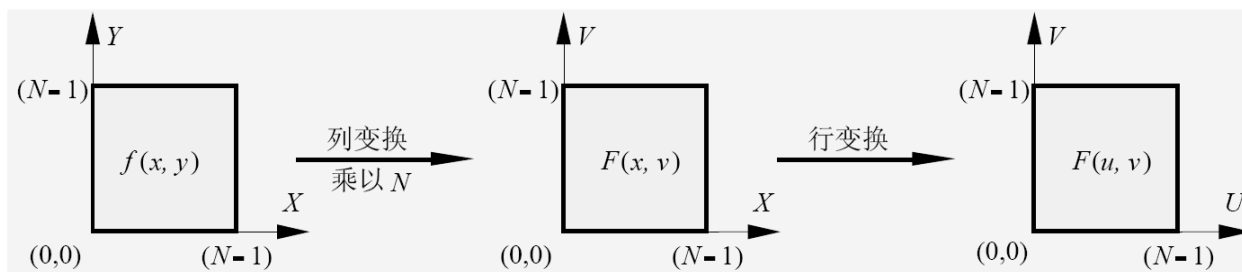
分离性质

$$F(x, v) = N \left[\frac{1}{N} \sum_{y=0}^{N-1} f(x, y) \exp[-j2\pi v y / N] \right]$$

1次2-D \Rightarrow 2次1-D

$$F(u, v) = \frac{1}{N} \sum_{x=0}^{N-1} F(x, v) \exp[-j2\pi u x / N]$$

$O(N^4)$ 减为 $O(N^2)$



§ 4.1 基本概念—傅里叶变换

➤ 2-D傅立叶变换性质-平移

平移性质

$$\begin{aligned} f(x, y) \exp[j2\pi(u_0x + v_0y)/N] &\Leftrightarrow F(u - u_0, v - v_0) \\ \mathcal{F}\{f(x, y) \exp[j2\pi(u_0x + v_0y)/N]\} \\ &= \frac{1}{N} \sum_{x=0}^{N-1} \sum_{y=0}^{N-1} f(x, y) \exp[j2\pi(u_0x + v_0y)/N] \exp[-j2\pi(ux + vy)/N] \\ &= \frac{1}{N} \sum_{x=0}^{N-1} \sum_{y=0}^{N-1} f(x, y) \exp\{-j2\pi[(u - u_0)x + (v - v_0)y]/N\} \\ &= F[(u - u_0), (v - v_0)] \end{aligned}$$

§ 4.1 基本概念—傅里叶变换

➤ 2-D傅立叶变换性质-周期、分配、尺度

周期性

$$F(u, v) = F(u + N, v) = F(u, v + N) = F(u + N, v + N)$$

分配律

$$F\{f_1(x, y) + f_2(x, y)\} = F\{f_1(x, y)\} + F\{f_2(x, y)\}$$

尺度变换（缩放）

$$af(x, y) \Leftrightarrow aF(u, v) \quad f(ax, by) \Leftrightarrow \frac{1}{|ab|} F\left(\frac{u}{a}, \frac{v}{b}\right)$$

平均值

$$\bar{f}(x, y) = \frac{1}{N^2} \sum_{x=0}^{N-1} \sum_{y=0}^{N-1} f(x, y)$$

§ 4.1 基本概念--傅里叶变换

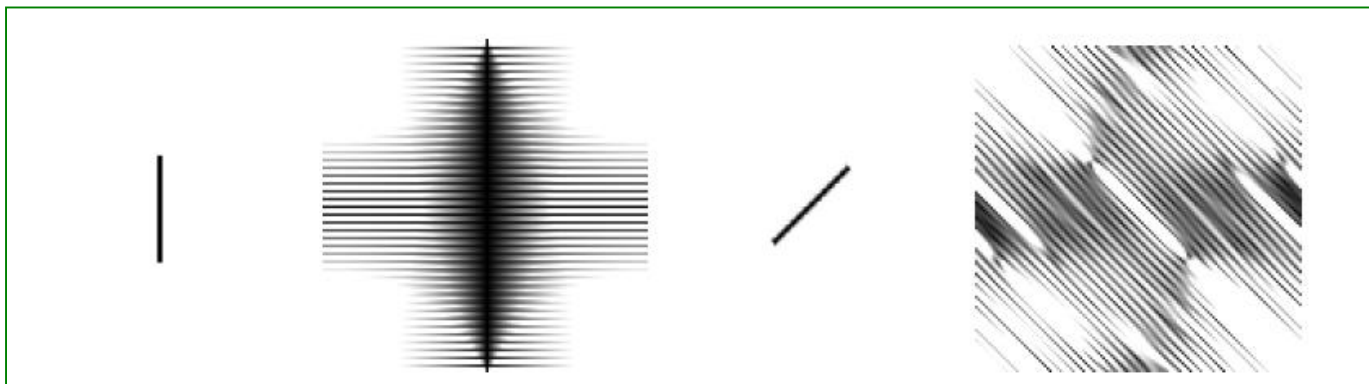
➤ 2-D傅立叶变换性质-旋转

➤ 如果使用极坐标,

$$➤ x=r\cos\theta, y=r\sin\theta, u=\omega\cos\phi, v=\omega\sin\phi,$$

➤ 则 $f(r,\theta)$ 的傅里叶变换是 $F(u,\phi)$, 它们有旋转对应关系。

$$➤ f(r,\theta + \theta_0) \Leftrightarrow F(\omega, \phi + \theta_0)$$



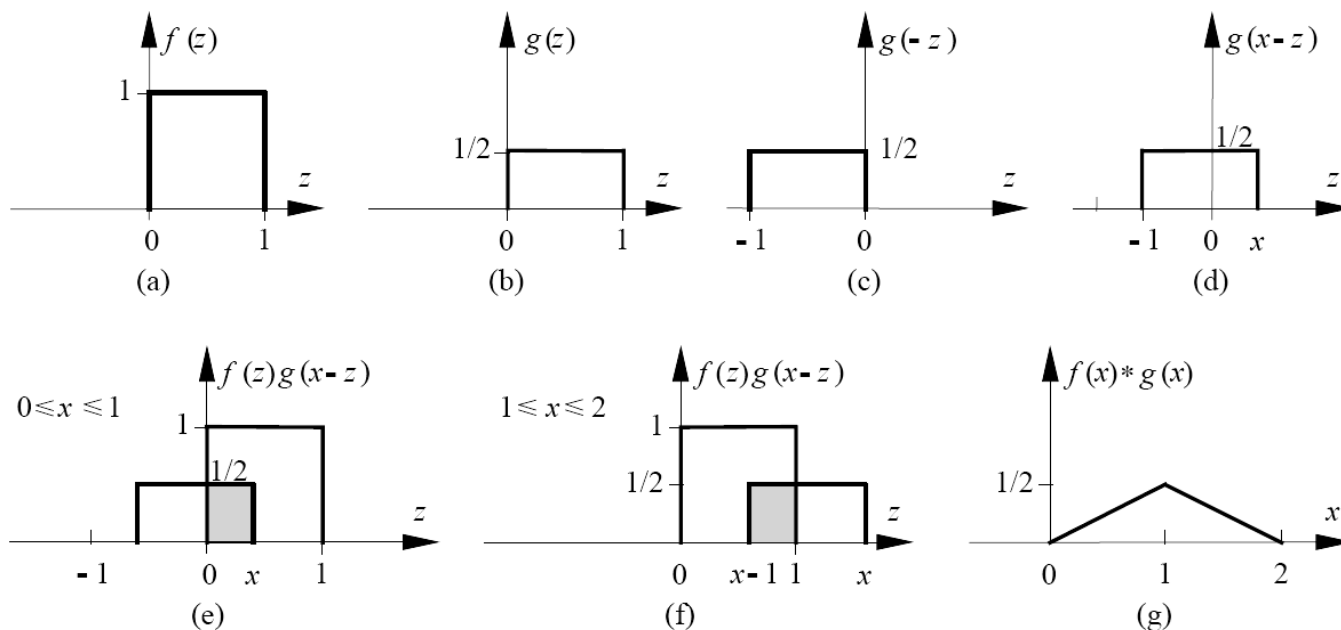
§ 4.1 基本概念—傅里叶变换

一维卷积的
图解

➤ 2-D傅立叶变换性质-卷积

卷积

$$f(x) * g(x) = \int_{-\infty}^{\infty} f(z)g(x-z)dz$$



§ 4.1 基本概念--傅里叶变换

➤ 周期序列的卷积-不重叠的条件

➤ $f(x)$ 和 $g(x)$ 的周期为 M ，卷积后的周期还是 M

➤ $f(x)$ 和 $g(x)$ 为在周期内有限长序列，各自的非0值序列长度分别为 A 和 B ，只有在

➤ M 大于等于 $A+B-1$ 时，卷积结果才不会重叠

§ 4.1 基本概念—傅里叶变换

► 2-D傅立叶变换性质-卷积 卷积定理

$$f(x) * g(x) \Leftrightarrow F(u)G(u)$$

$$f(x)g(x) \Leftrightarrow F(u) * G(u)$$

2-D卷积定理

$$f(x, y) * g(x, y) = \int_{-\infty}^{\infty} \int_{-\infty}^{\infty} f(p, q)g(x - p, y - q)dpdq$$

$$f(x, y) * g(x, y) \Leftrightarrow F(u, v)G(u, v)$$

$$f(x, y)g(x, y) \Leftrightarrow F(u, v) * G(u, v)$$

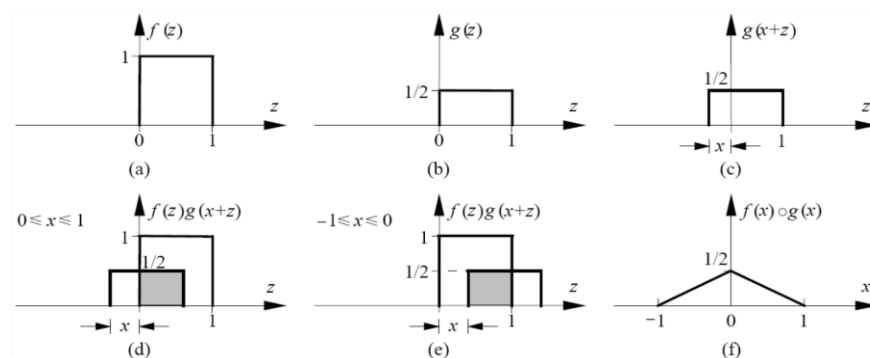
§ 4.1 基本概念—傅里叶变换

一维相关的图解

➤ 1-D相关的概念

相关

$$f(x) \circ g(x) = \int_{-\infty}^{\infty} f^*(z)g(x \oplus z)dz$$



➤ 相关与卷积

➤ 根据相关的定义不难看出

$$f(x) \circ g(x) = f(x) * g(-x)$$

➤ 用傅里叶变换表示

$$f(x) \circ g(x) \Leftrightarrow F(\omega)G(-\omega)$$

➤ 函数是实函数时

$$f(x) \circ g(x) \Leftrightarrow F(\omega)G^*(\omega)$$

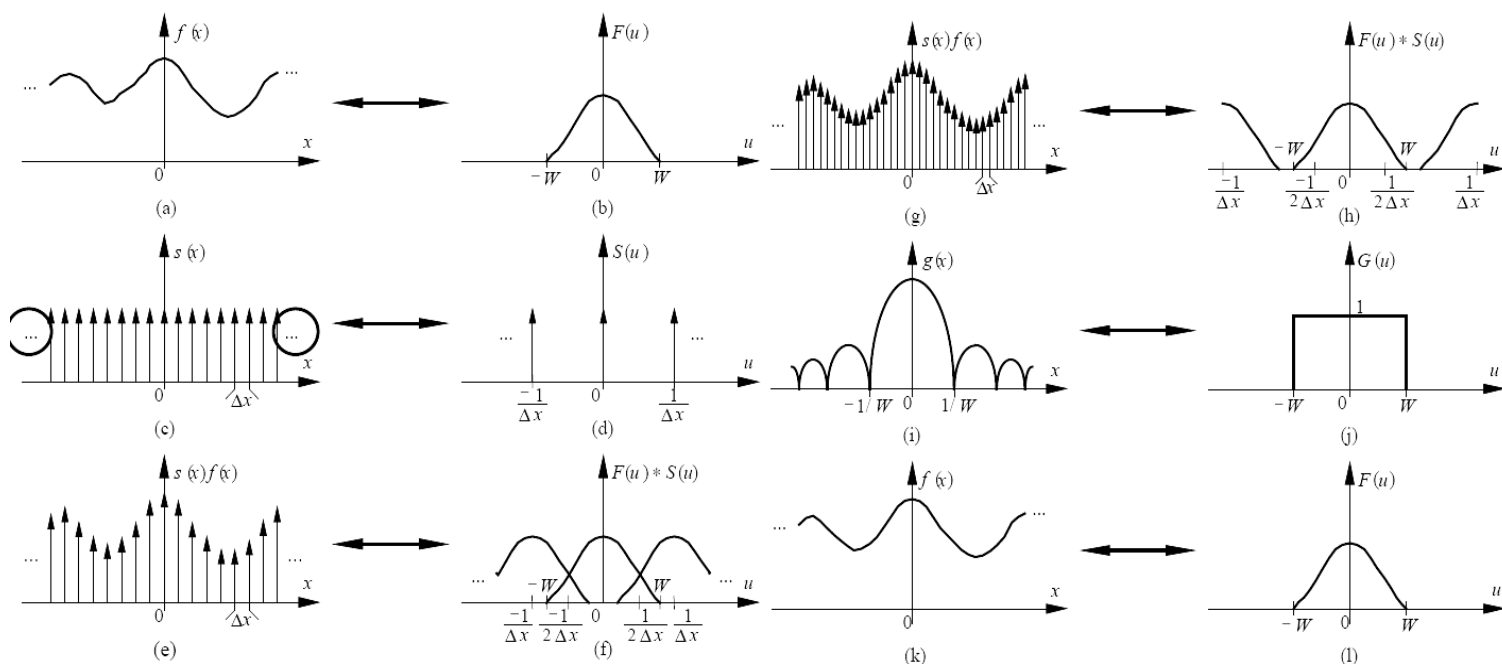
§ 4.1 二维傅立叶变换和性质

➤ 由采样重建图象

带限函数

$$\Delta x \leq 1/(2W)$$

$$G(u) = \begin{cases} 1 & -W \leq u \leq W \\ 0 & \text{其它} \end{cases}$$

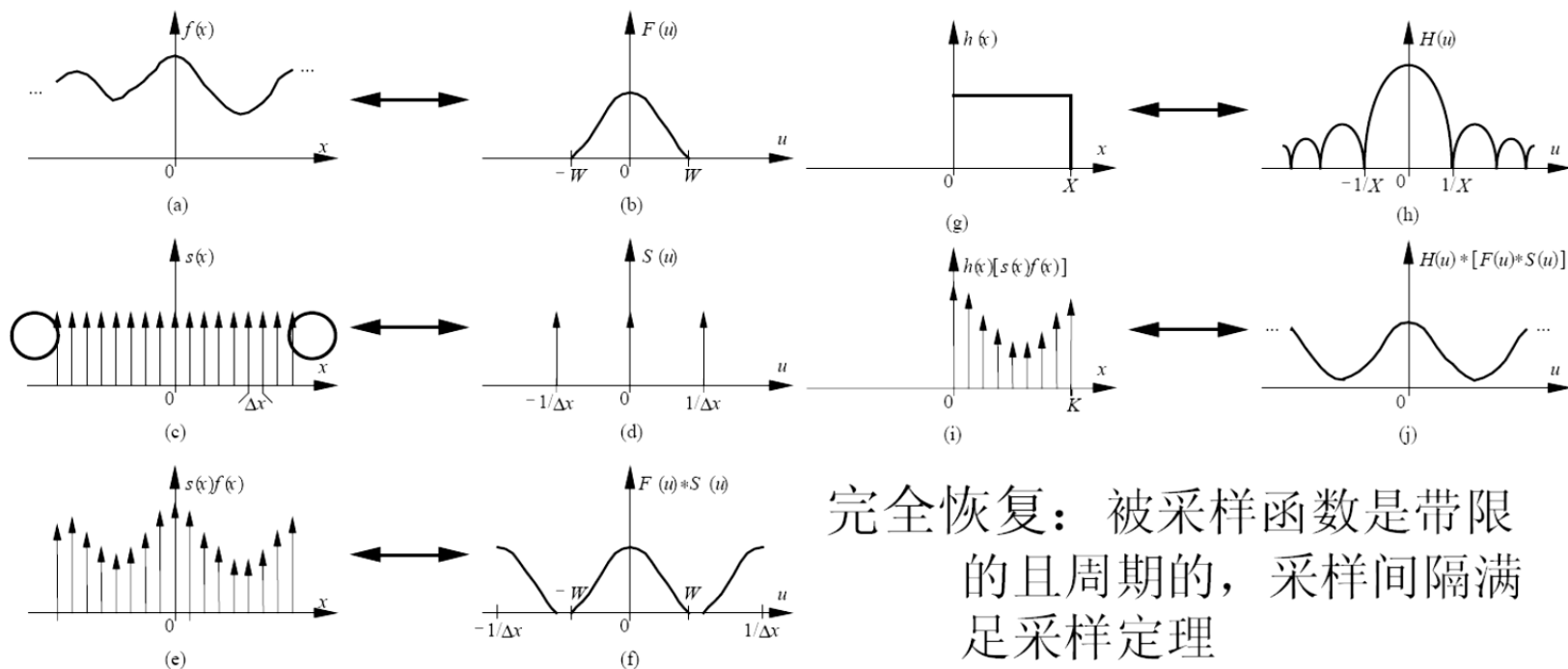


§ 4.1 基本概念—傅里叶变换

➤ 由采样重建图象

有限采样区间

$$h(x) = \begin{cases} 1 & 0 \leq x \leq K \\ 0 & \text{其它} \end{cases}$$



完全恢复：被采样函数是带限的且周期的，采样间隔满足采样定理

§ 4.1 基本概念—傅里叶变换

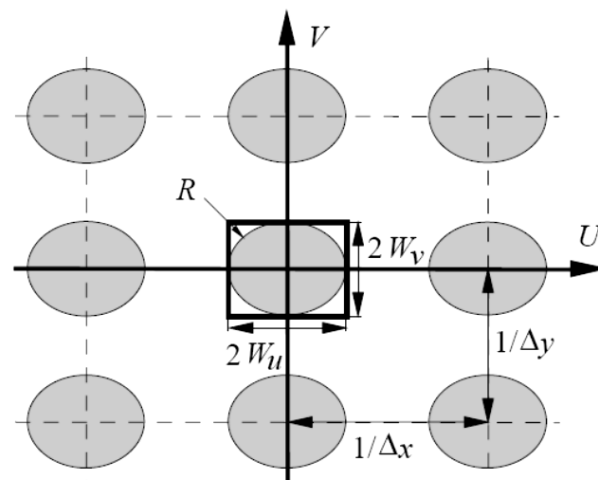
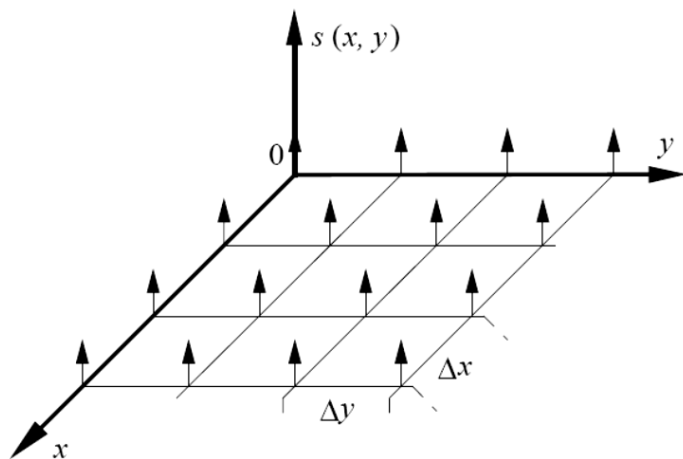
➤ 由采样重建图象

2-D采样

$$G(u, v) = \begin{cases} 1 & (u, v) \text{ 在包含 } R \text{ 的一个矩形中} \\ 0 & \text{其它} \end{cases}$$

$$\Delta x \leq \frac{1}{2W_u}$$

$$\Delta y \leq \frac{1}{2W_v}$$



§ 4.1 基本概念--傅里叶变换

➤ 2-D离散傅里叶变换的特别说明

➤ 基本性质： 线性、尺度、时移、平移、旋转

➤ 离散与周期

➤ 时域离散化→ 频域周期重复 $F(u, v) = F(u + kM, v + lN)$

➤ 频域离散化→ 时域周期重复 $f(x, y) = F(x + kM, y + lN)$

➤ 实函数的奇偶性

➤ 频域函数实部是 u, v 的偶函数，虚部是 u, v 的奇函数

➤ 频域幅频特性是 u, v 的偶函数，相频特性是 u, v 的奇函数

➤ 频域函数的高频与低频

➤ $|F(u, v)|$ 低频在频域图像左上端 $F(0, 0)$

➤ $|F(u, v)|$ 高频在频域图像最中间 $F(M/2, N/2)$

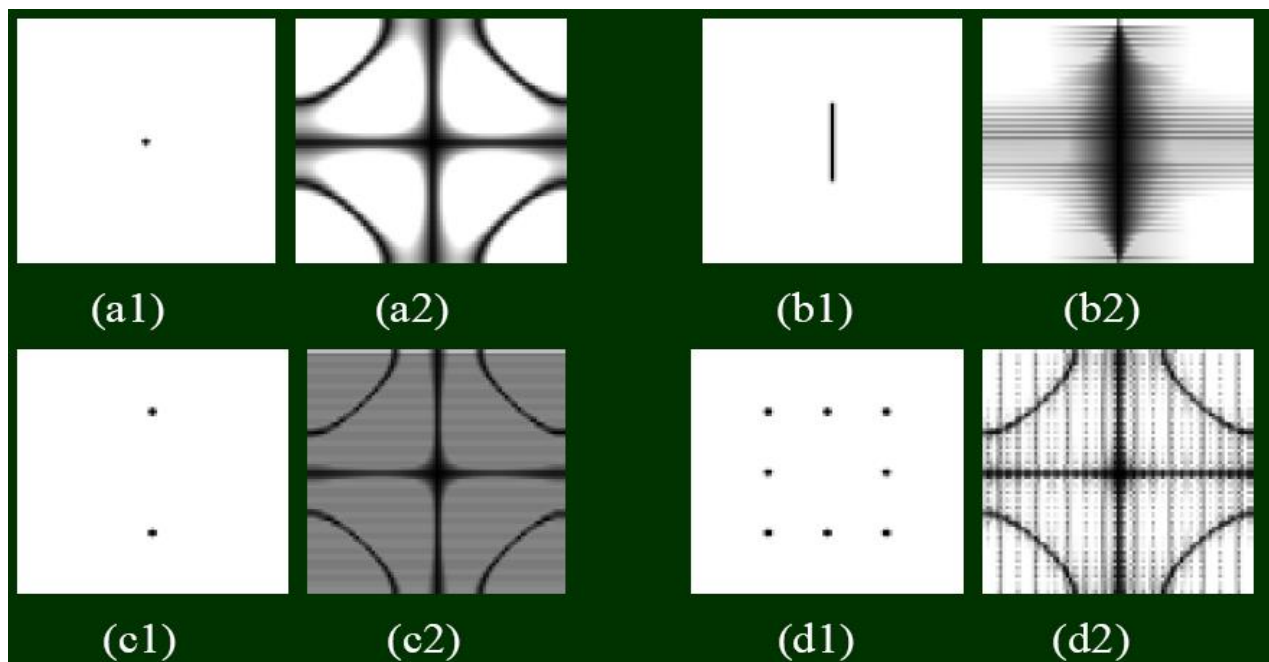
➤ 一般为观察方便要对变换的结果进行位置置换

➤ 低频在图像中间，高频在图像的周边

§ 4.1 基本概念--傅里叶变换

➤ 简单的傅里叶频谱

- 以下简单图象的傅立叶频谱在检查傅立叶变换程序时十分有用。
- 频谱的原点为图象的中心。并且用 $D(u,v) = c \text{Log}(1+F(u,v))$ 压缩了动态范围



原图

傅里叶结果

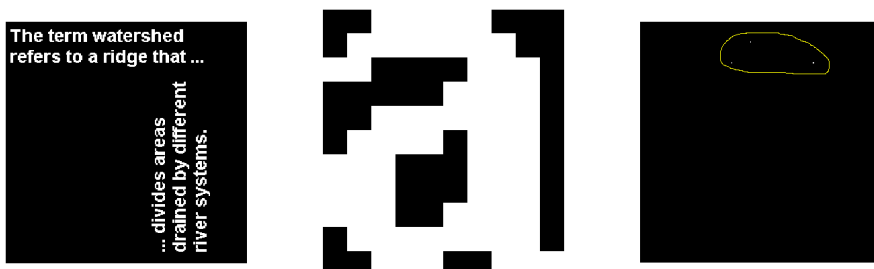
原图

傅里叶结果

§ 4.1 基本概念--傅里叶变换应用

➤ 利用傅里叶变换进行相关性检测

➤ 特征的提取



➤ 图像的配准



§ 4.1 基本概念-空域滤波器的频域分析

➤ 1. 图像锐化

➤ 拉普拉斯锐化的表达式

$$g(m,n) = (1+4\alpha)f(m,n) - \alpha(f(m+1,n) + f(m-1,n) + f(m,n+1) + f(m,n-1))$$

➤ Z变换

$$G(z_m, z_n) = F(z_m, z_n) \left[(1+4\alpha) - \alpha(z_m + z_m^{-1} + z_n + z_n^{-1}) \right]$$

➤ 系统函数

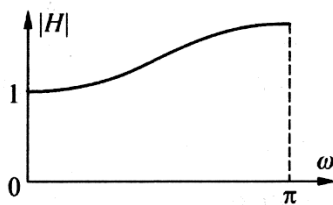
$$H(z_m, z_n) = \frac{G(z_m, z_n)}{F(z_m, z_n)} = \left[(1+4\alpha) - \alpha(z_m + z_m^{-1} + z_n + z_n^{-1}) \right]$$

$$\begin{aligned} H(\omega_m, \omega_n) &= \left[(1+4\alpha) - \alpha(e^{j\omega_m} + e^{-j\omega_m} + e^{j\omega_n} + e^{-j\omega_n}) \right] \\ &= \left[(1+4\alpha) - 2\alpha(\cos \omega_m + \cos \omega_n) \right] \end{aligned}$$

§ 4.1 基本概念-空域滤波器的频域分析

➤ 系统函数的说明

➤ 频谱图



$$H(0,0) = 1$$

➤ 最低响应

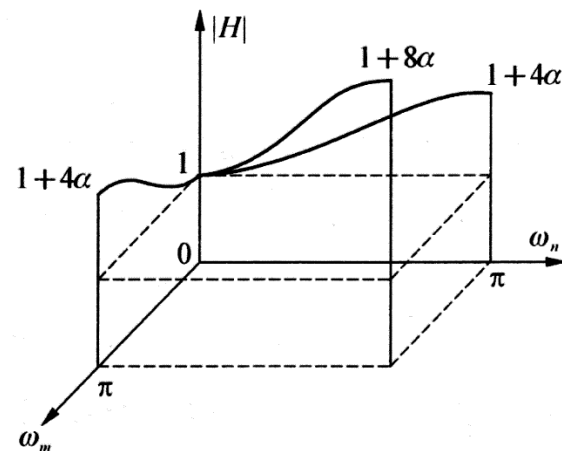
$$H(\pi, \pi) = 1 + 8\alpha$$

➤ 最高响应

$$H(\pi, 0) = H(0, \pi) = 1 + 4\alpha$$

➤ 具有高通特性

➤ 系统函数为实函数，无相移



§ 4.1 基本概念-空域滤波器的频域分析

➤ 2. 图像平滑

➤ 均值平滑的表达式

➤ Z变换

➤ 系统函数

$$g(m, n) = \frac{1}{9} \sum_{i=-1}^1 \sum_{j=-1}^1 f(m+i, n+j)$$

$$G(z_m, z_n) = \frac{1}{9} \sum_{i=-1}^1 \sum_{j=-1}^1 F(z_m, z_n) z_m^i z_n^j$$

$$H(z_m, z_n) = \frac{G(z_m, z_n)}{F(z_m, z_n)} = \frac{1}{9} (1 + z_m + z_m^{-1})(1 + z_n + z_n^{-1})$$

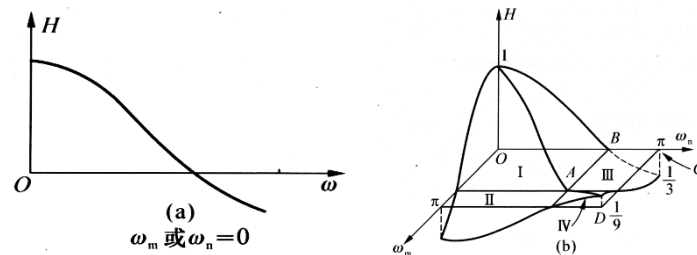
$$H(\omega_m, \omega_n) = \frac{1}{9} (1 + e^{j\omega_m} + e^{-j\omega_m})(1 + e^{j\omega_n} + e^{-j\omega_n})$$

$$= \frac{1}{9} (1 + 2\cos \omega_m)(1 + 2\cos \omega_n)$$

§ 4.1 基本概念-空域滤波器的频域分析

➤ 系统函数的说明

➤ 频谱图



$$H(0,0) = 1$$

➤ 最高响应

$$H\left(\frac{2\pi}{3}, \frac{2\pi}{3}\right) = \frac{1}{9}$$

➤ 最低响应

$$H\left(\frac{2\pi}{3}, 0\right) = H\left(0, \frac{2\pi}{3}\right) = \frac{-1}{3}$$

➤ 具有低通特性

➤ 系统函数为实函数，但在个别区域会倒相

➤ 图中II、III区域存在倒相现象，需要注意

§ 4.1 基本概念-空域滤波器的频域分析

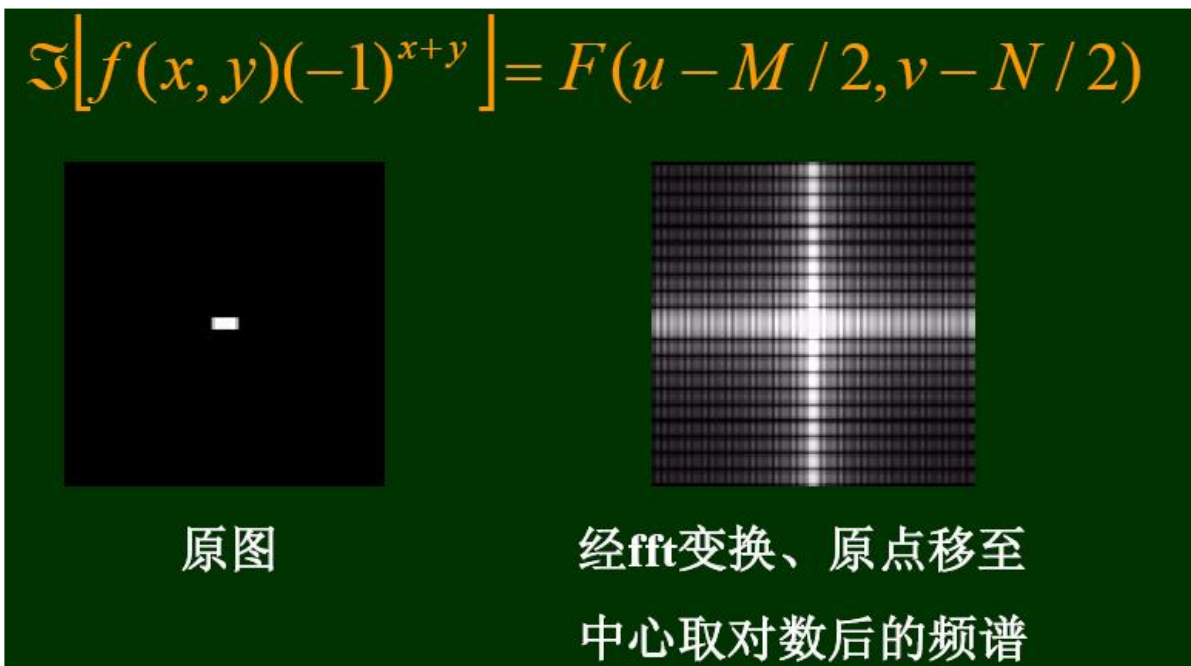
➤ 空域滤波到频域滤波

- 空域的锐化、平滑模板处理，其实就是频域的高通、低通处理
- 空域的处理模板，映射到频域可以看到，它们并非都是无相移系统，将造成处理后图像，目标会有位置变化。而这种不利影响在频域处理中可以避免。

§ 4.1 基本概念-频域处理准备

- 傅立叶变换的频率低端移至图像中心的办法
 - 频域的位移对应空域增加指数项的相乘

$$F(u - \frac{M}{2}, v - \frac{N}{2}) \Leftrightarrow f(m, n) e^{j\frac{2\pi}{M}m(\frac{M}{2})} e^{j\frac{2\pi}{N}n(\frac{N}{2})} = f(m, n) e^{j\pi m} e^{j\pi n} = f(m, n) (-1)^{m+n}$$



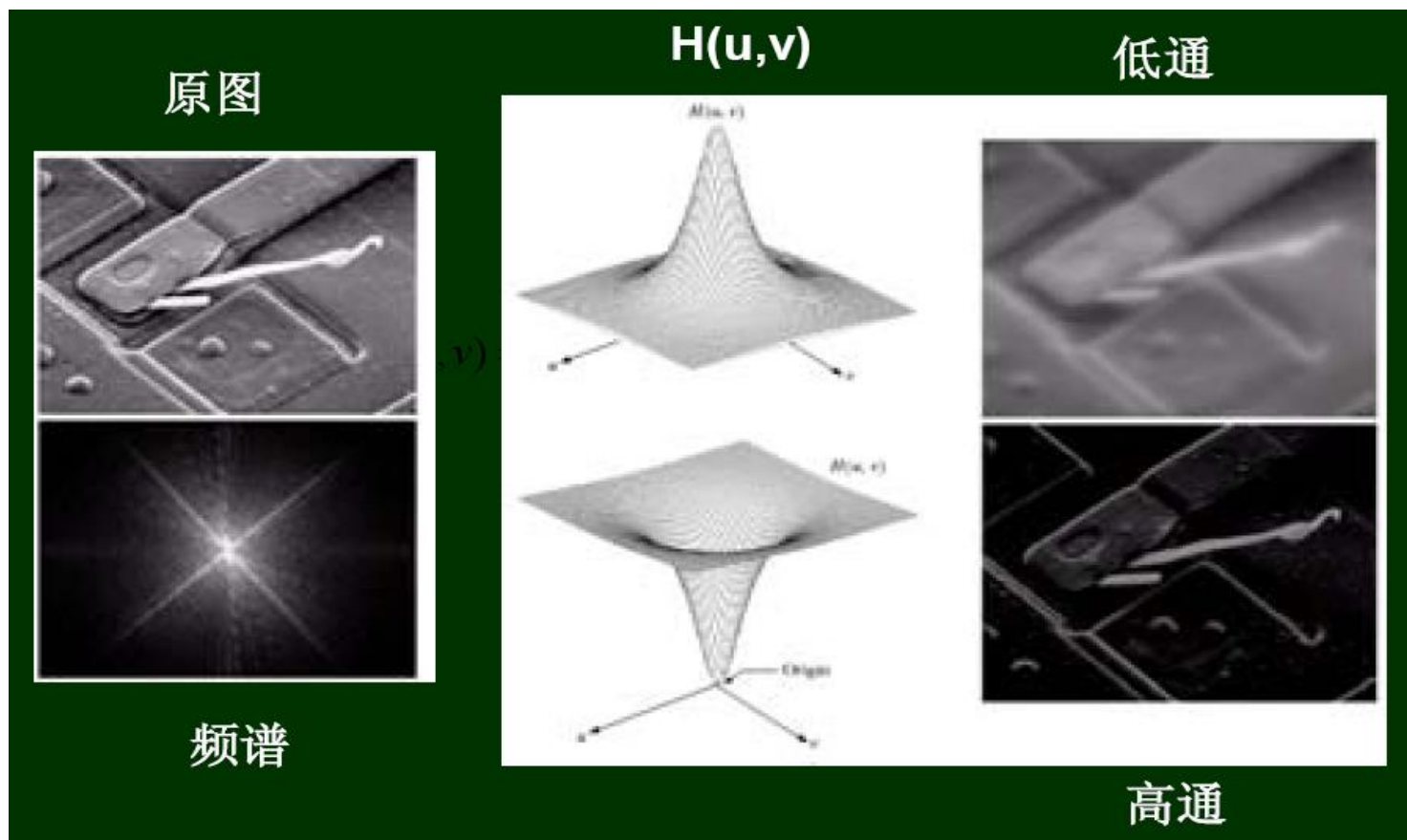
§ 4.1 基本概念

➤ 频域滤波步骤

- 1. 输入图 $f(x,y)$ 乘 $(-1)^{x+y}$ 使变换原点为中心
- 2. 计算 $f(x,y)$ 的FFT, $F(u,v)$
- 3. 计算 $G(u,v)=F(u,v) \times H(u,v)$, 进行滤波
- 4. 计算 $G(u,v)$ 的IFFT $g(x,y)$
- 5. 取得 $g(x,y)$ 的实部
- 6. 结果乘 $(-1)^{(x+y)}$ 变回原来的形状

§ 4.1 基本概念

► 频域滤波举例



§ 4.2 低通滤波

➤ 基本概念

- 在频域中将高频分量除去或衰减就构成了低通滤波。
- 设图象是 $F(u,v)$ ，变化后的图象是 $G(u,v)$ ，则问题就是选择滤波器 $H(u,v)$ ，使得变换后高频分量得以衰减，即 $G(u,v) = H(u,v) \times F(u,v)$ ，将 $G(u,v)$ 变回空域就得到变化后真正的图。
- 一般只考虑 $H(u,v)$ 为实数的滤波器，它不影响变化前后的相位特性，称为0相位漂移滤波器

§ 4.2 低通滤波

➤ 1、理想低通滤波器

➤ 如果 D_0 是一个正数， $D(u,v)$ 是到原点的距离，

$$D(u, v) = \sqrt{u^2 + v^2}$$

➤ 那么满足下列关系的滤波器为理想低通滤波器。

$$H(u, v) = \begin{cases} 1 & \text{if } D(u, v) \leq D_0 \\ 0 & \text{if } D(u, v) > D_0 \end{cases}$$

➤ 称 D_0 为截至频率。

§ 4.2 低通滤波

截止频率选择

- 选择方法是决定让频谱中的多少功率通过

总功率为
$$P_T = \sum_{u=0}^{N-1} \sum_{v=0}^{N-1} P(u, v)$$

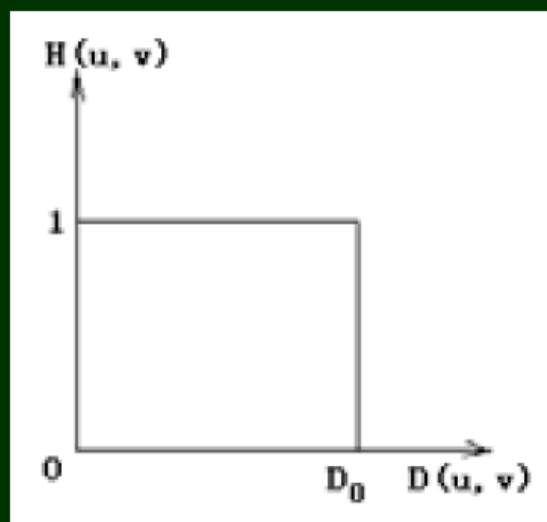
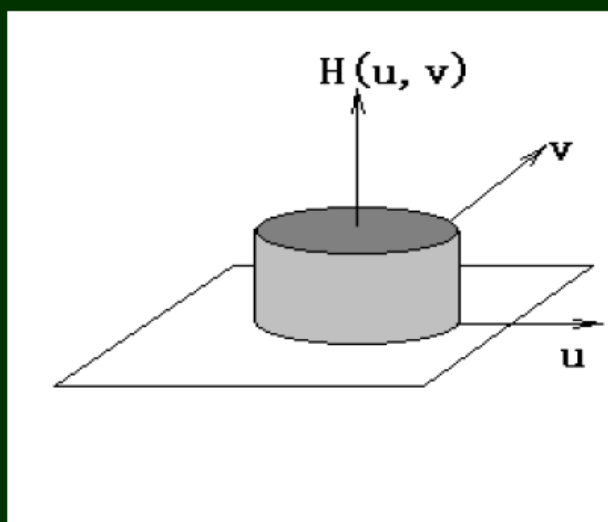
其中 $P(u, v) = R^2(u, v) + I^2(u, v)$ 为 $F(u, v)$ 实部和虚部的平方和。取部分频率通过

$$\beta = 100 \left[\sum_u \sum_v P(u, v) / P_T \right]$$

给出 β 反求相应的半径，即为选定的截止频率。

§ 4.2 低通滤波

理想低通滤波器的形状及其截面

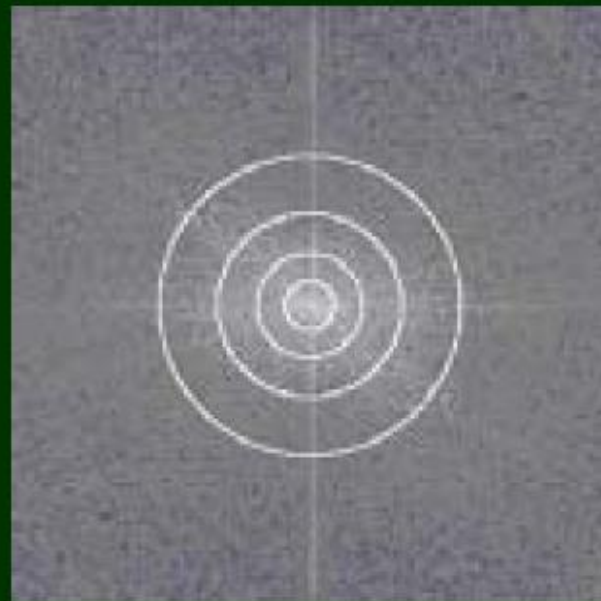


§ 4.4.2 低通滤波

理想低通滤波器示例



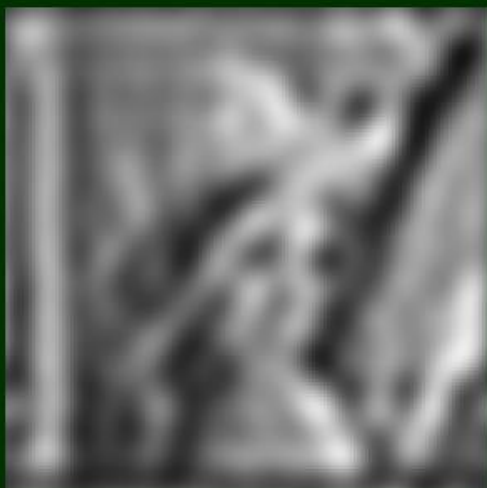
原图



频谱和各占功率 $\beta = 95, 98, 99, 99.5$ 所对应的半径 10, 22, 39, 64

§ 4.2 低通滤波

半径10



半径22



半径39

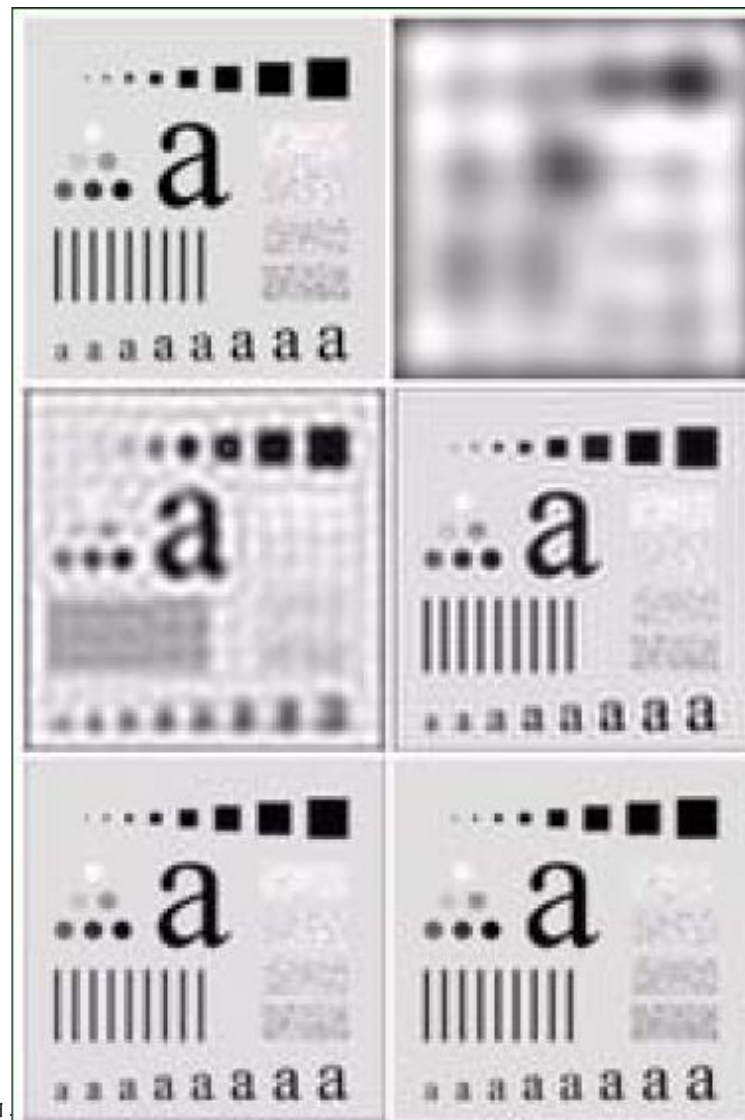
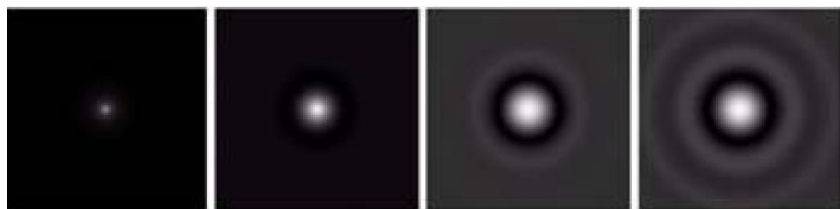
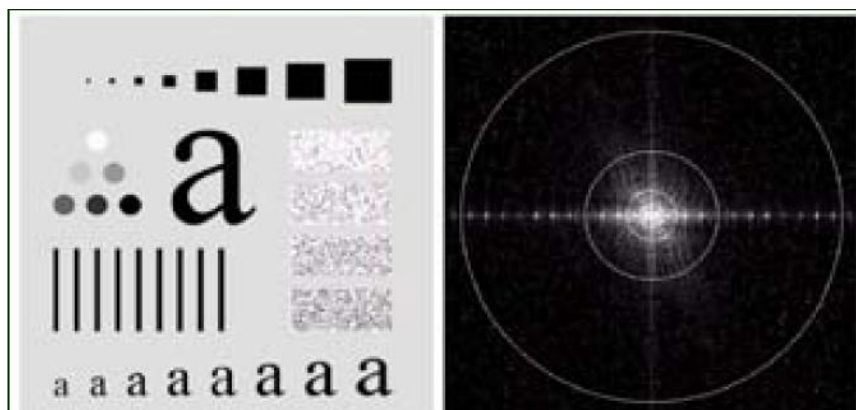


半径64



§ 4.2 低通滤波

➤ 理想低通滤波器的振铃现象



§ 4.2 低通滤波

➤ 2、Butterworth低通滤波器

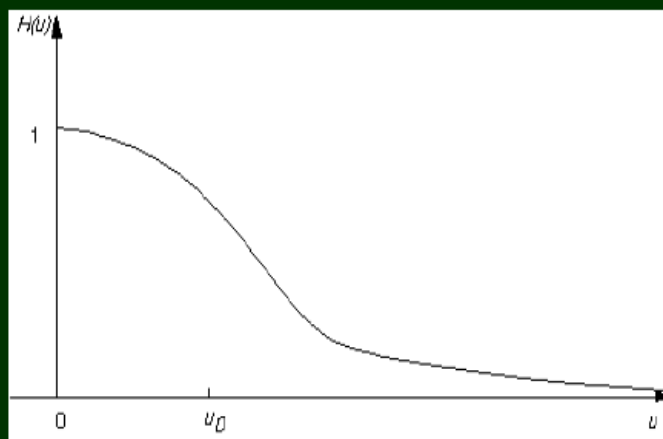
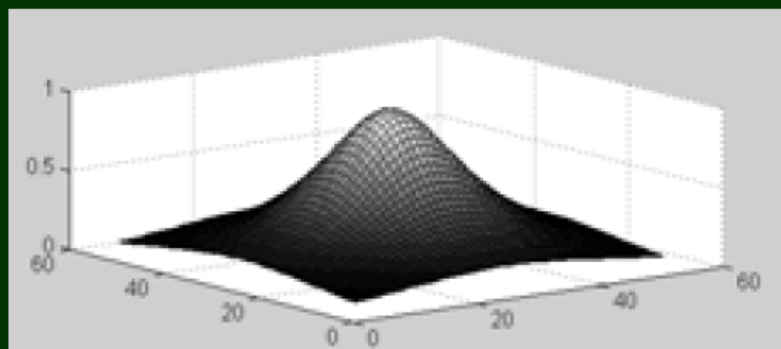
- 减少振铃效应，高低频率间的过渡比较光滑
- n 阶、截止频率为 D_0 的Butterworth低通滤波器的传输函数定义为

$$H(u, v) = \frac{1}{1 + [D(u, v) / D_0]^{2n}}$$

- 其中 $D(u, v)$ 为半径。

§ 4.4.2 低通滤波

Butterworth低通滤波器的形状及其截面



§ 4.2 低通滤波

公式调整

对于平滑、没有阶跃的传输函数，把传输函数降为峰值一半，或 $\frac{1}{\sqrt{2}}$ 处定为截止频率。

将公式略加修改就可以满足在截止频率点，传输函数值降至 $\frac{1}{\sqrt{2}}$

$$H(u, v) = \frac{1}{1 + \left(\sqrt{2} - 1\right) \left[D(u, v) / D_0\right]^{2n}}$$

§ 4.2 低通滤波

调整后的公式示例

半径10



半径22



半径39



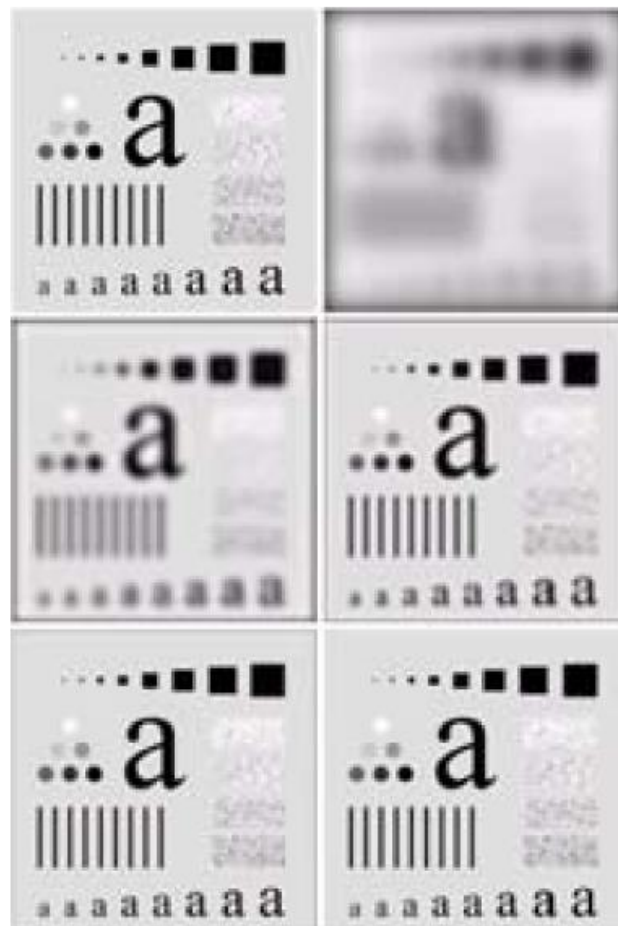
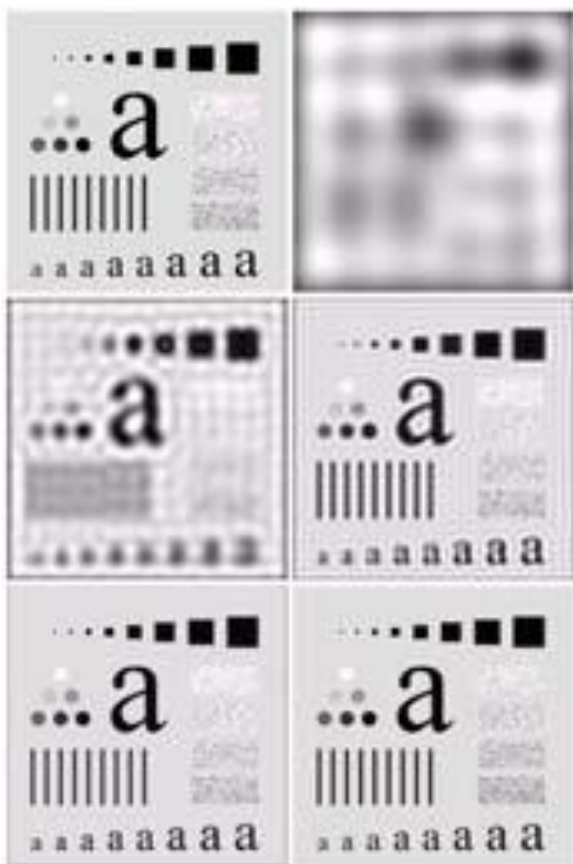
半径64



测试图和参数与前面相同，可见结果更加平滑一些。

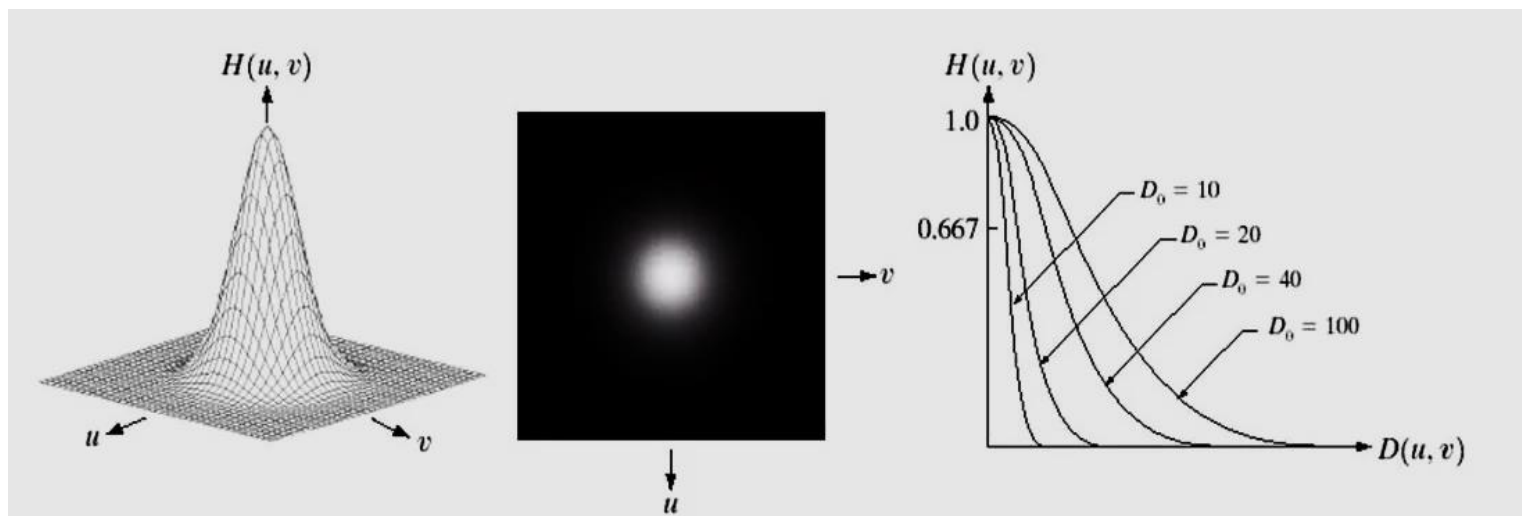
§ 4.2 低通滤波

➤ 理想低通滤波器与Butterworth低通滤波比较

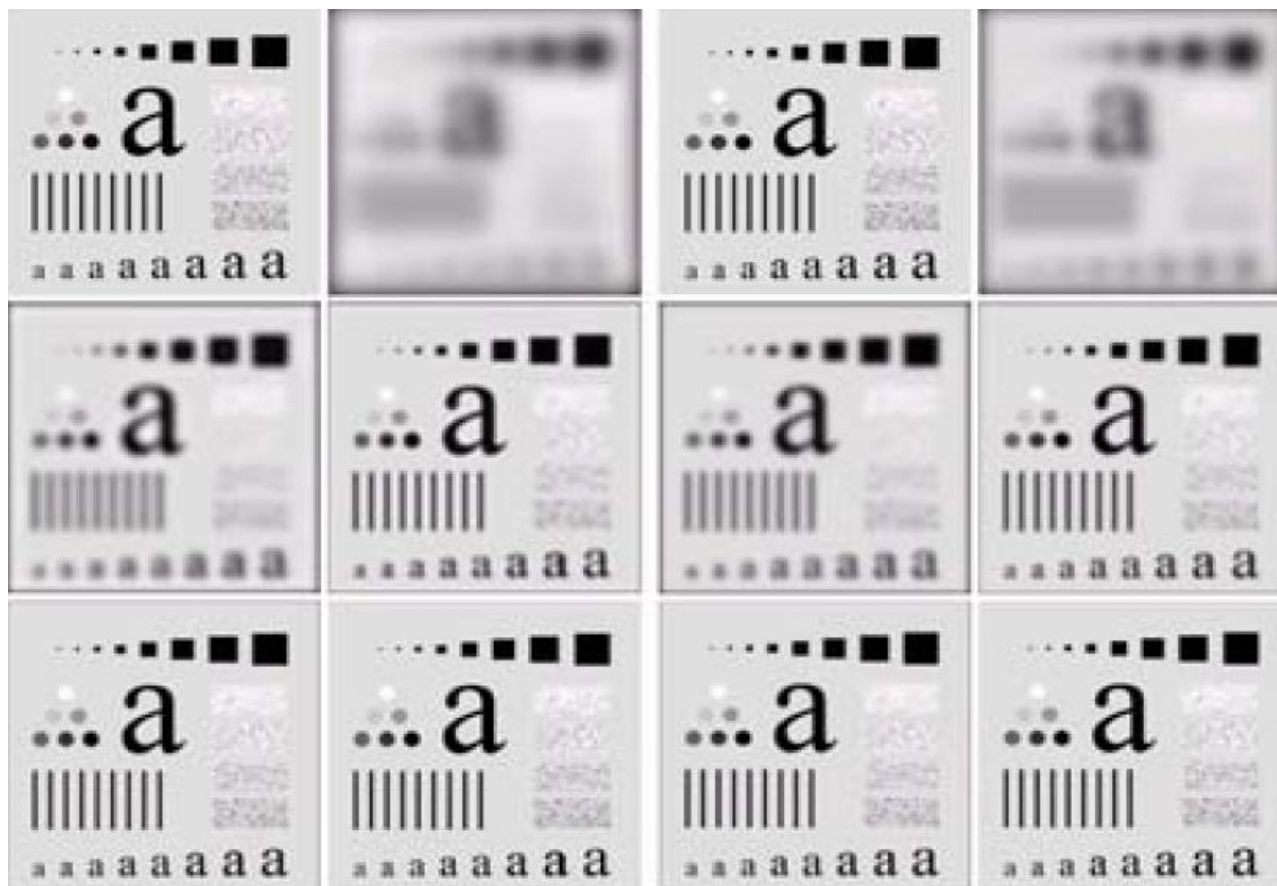


§ 4.4.2 低通滤波

➤ 3、Gaussian 低通滤波



§ 4.2 低通滤波



Butterworth

Gaussian

§ 4.2 低通滤波

➤ 应用1，美容处理-去皱

原始图像



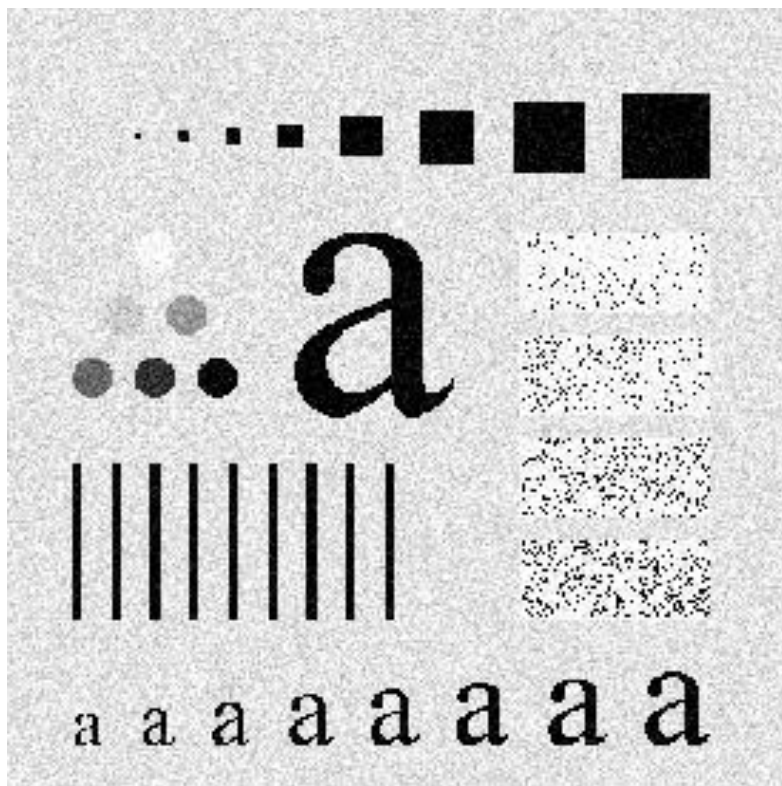
高斯低通滤波器 $\sigma=63.2456$



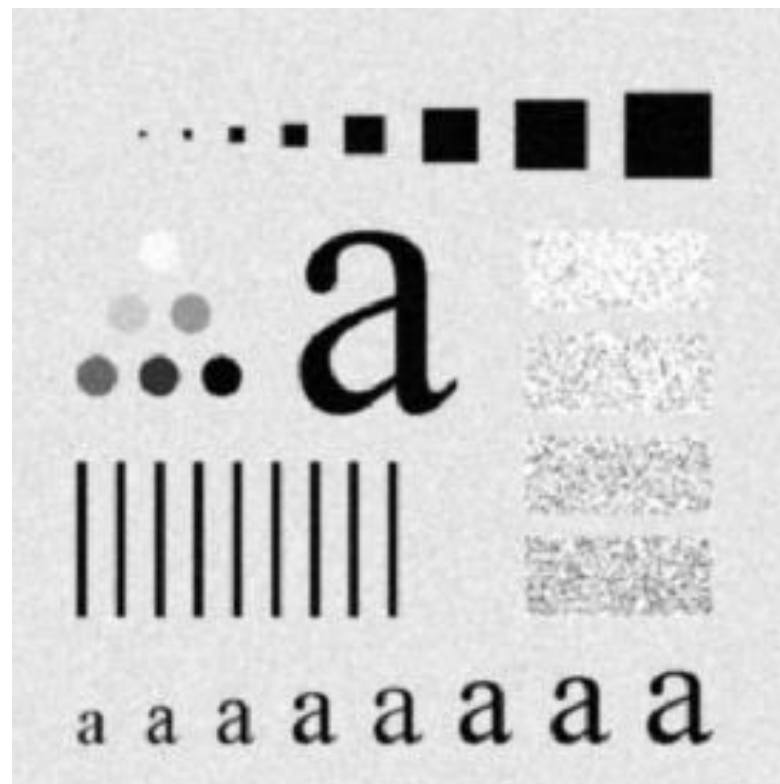
§ 4.2 低通滤波

➤ 应用2，降噪处理

降噪处理 原始图像



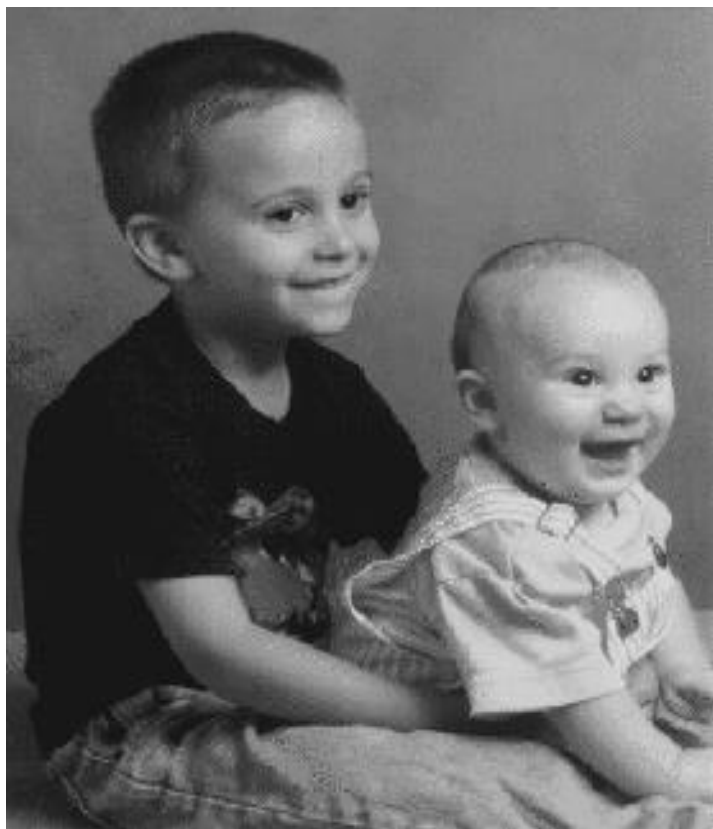
高斯低通滤波器 $\sigma=63.2456$



§ 4.2 低通滤波

➤ 应用3，照片补偿，消除彩色量化后的纹理

照片补偿 原始图像



巴特沃斯低通滤波器半径=80



§ 4.2 低通滤波

➤ 应用4，消除遥感图片扫描条纹

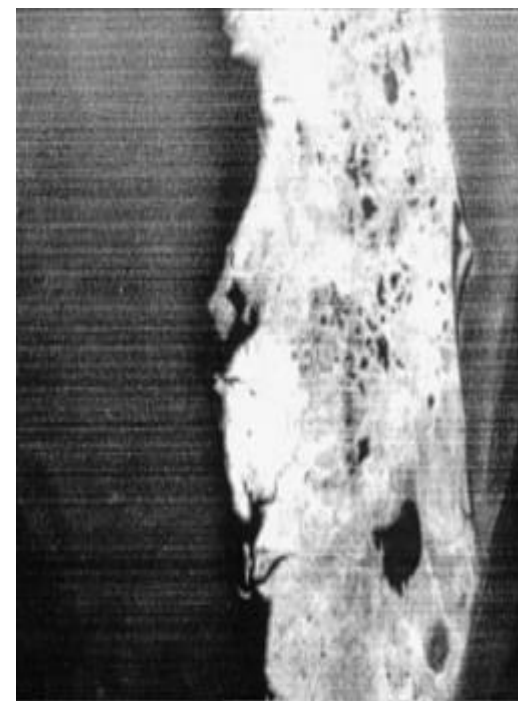
扫描条纹 原始图像



高斯低通滤波器 $\sigma=44.7214$



巴特沃斯低通滤波器半径=80



§ 4.3 高通滤波

➤ 1. 基本概念

- 高通滤波是想保留图象中灰度急剧变化的部分。
- 一般只讨论零相移高通滤波器

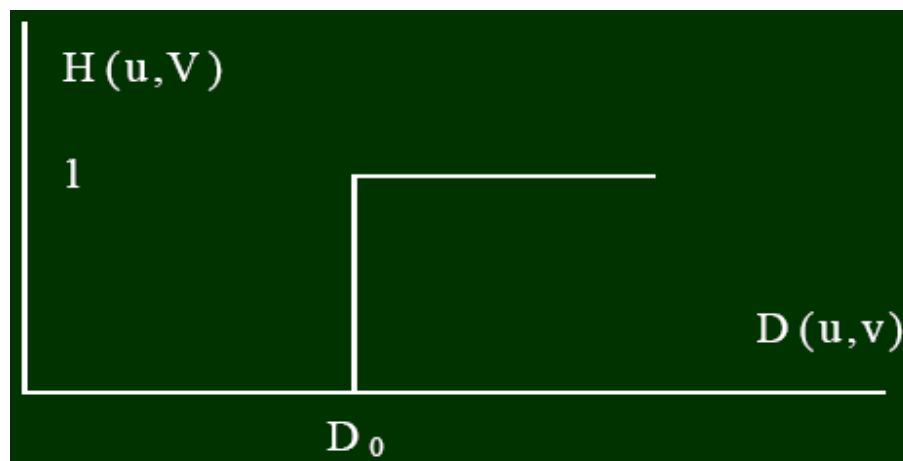
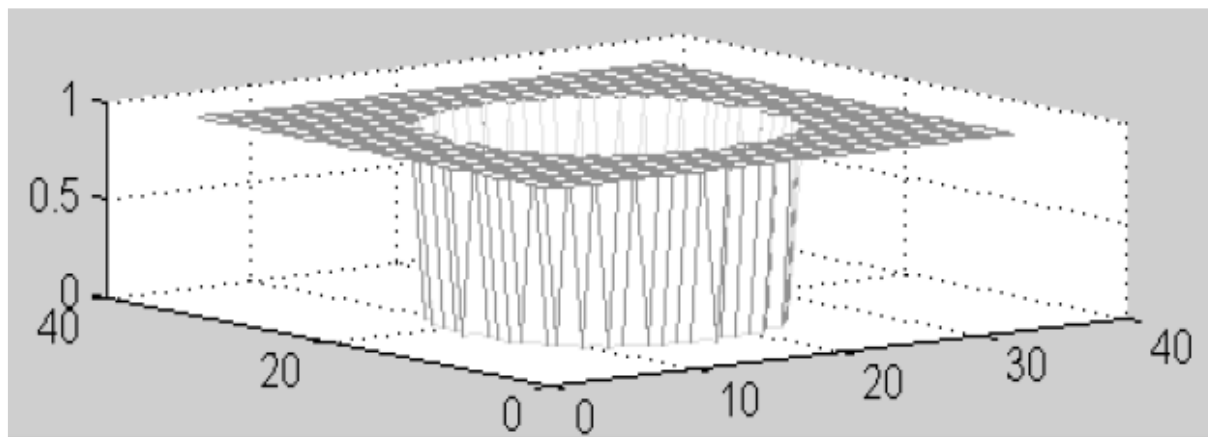
➤ 2. 理想高通滤波器

- 可以类比低通滤波器来定义理想高通滤波器

$$H(u, v) = \begin{cases} 0 & \text{if } D(u, v) \leq D_0 \\ 1 & \text{if } D(u, v) > D_0 \end{cases}$$

§ 4.4.3 高通滤波

➤ 理想高通滤波器的形状及其截面

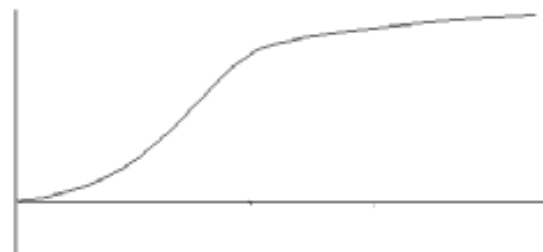
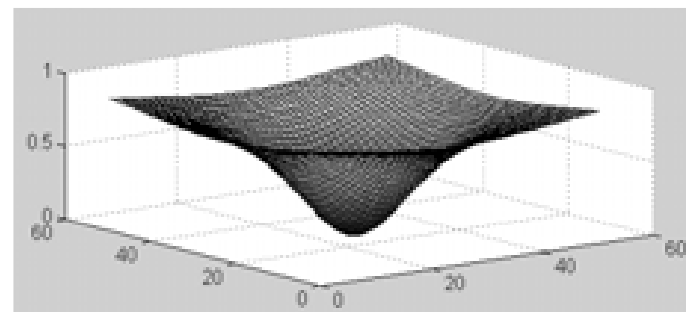


§ 4.3 高通滤波

➤ 3. Butterworth高通滤波器

- 模仿低通滤波的情况可以设计高通 Butterworth 滤波器
- Butterworth 高通滤波器的形状及其截面

$$H(u, v) = \frac{1}{1 + [D_0 / D(u, v)]^{2n}}$$
$$H(u, v) = \frac{1}{1 + (\sqrt{2} - 1)[D_0 / D(u, v)]^{2n}}$$
$$H_{hp}(u, v) = 1 - H_{lp}(u, v)$$



§ 4.3 高通滤波

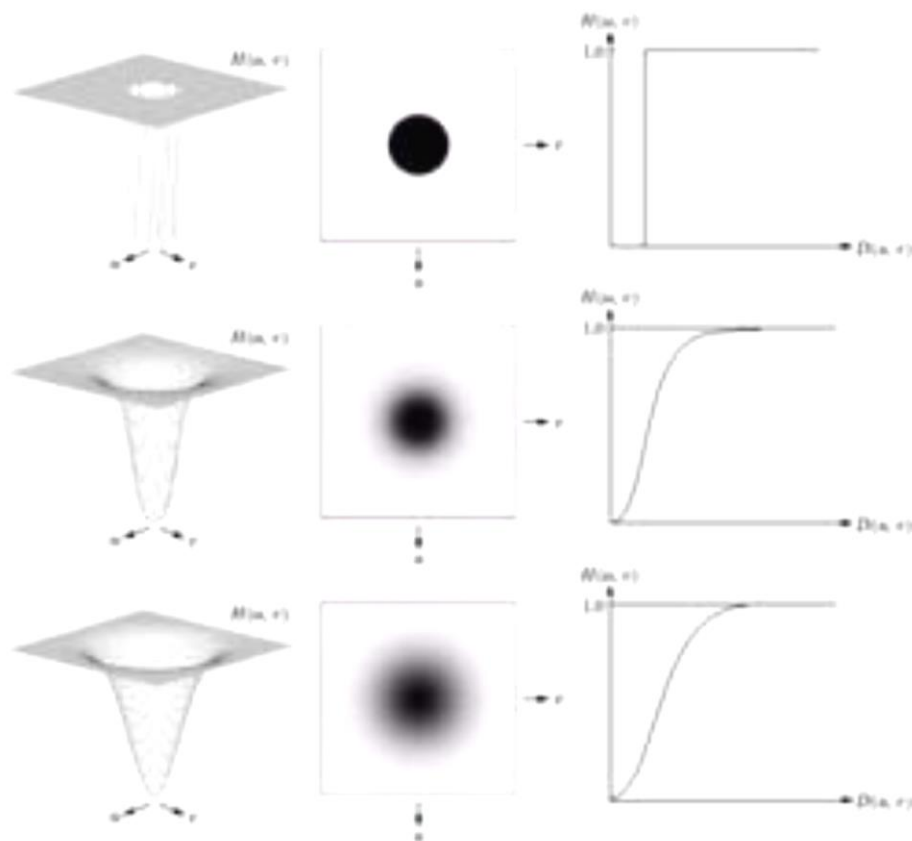
➤ 4.几种不同高通滤波器比较

➤ 形状、图象、截面

➤ 理想

➤ Butterworth

➤ Gaussian



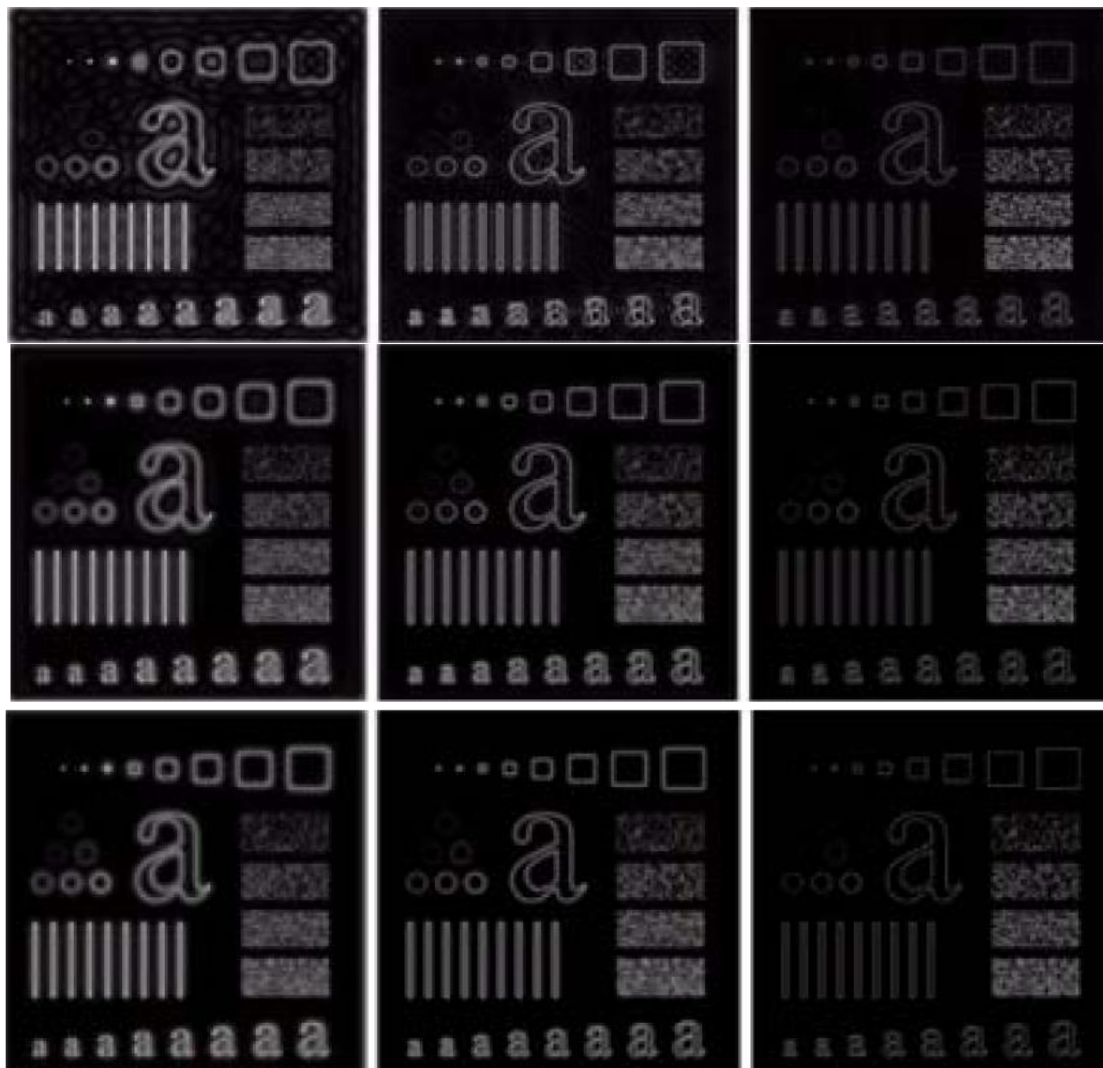
§ 4.3 高通滤波

➤ 处理结果比较

➤ 理想

➤ Butterworth

➤ Gaussian



§ 4.3 高通滤波

➤ 5. 频域的拉普拉斯算子

➤ 拉普拉斯算子频域表示

$$\mathbf{Z} \left[\frac{\partial^2 f(x, y)}{\partial x^2} + \frac{\partial^2 f(x, y)}{\partial y^2} \right] = (j2\pi u)^2 F(u, v) + (j2\pi v)^2 F(u, v) = -4\pi^2 (u^2 + v^2) F(u, v)$$

➤ 滤波器描述

$$H(u, v) = -4\pi^2 (u^2 + v^2)$$

➤ MXN图像中心化

$$H(u, v) = -((u - M/2)^2 + (v - N/2)^2)$$

➤ 拉普拉斯算子

$$\nabla^2 f(x, y) = \mathbf{Z}^{-1} \left\{ -((u - M/2)^2 + (v - N/2)^2) F(u, v) \right\}$$

➤ 锐化增强

$$g(x, y) = f(x, y) - \nabla^2 f(x, y)$$

➤ 锐化频域表示

$$g(x, y) = \mathbf{Z}^{-1} \left\{ (1 + (u - M/2)^2 + (v - N/2)^2) F(u, v) \right\}$$

§ 4.3 高通滤波

➤ 6. 高频提升与高频加强

➤ 高频提升

$$\begin{aligned}f_{hb}(x, y) &= Af(x, y) - f_{lp}(x, y) \\&= (A-1)f(x, y) + f(x, y) - f_{lp}(x, y) \\&= (A-1)f(x, y) + f_{hp}(x, y)\end{aligned}$$

$A \geq 1$

➤ 滤波器表示

$$H_{hb}(u, v) = (A-1) + H_{hp}(u, v)$$

➤ 高频加强

$$H_{hfe}(u, v) = a + bH_{hp}(u, v)$$

其中 $a \geq 0$, $b > a$

一般: a 在0.25到0.5之间取值

b 在1.5到2.0之间取值

§ 4.3 高通滤波

➤ 5. 高频增强滤波

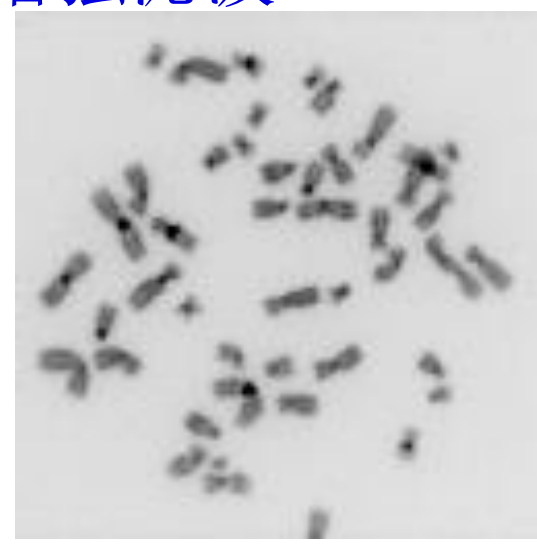
- 如果在上述高通滤波器上再加一个常数使得低频信号也能过去。这时称之为高频增强滤波。



原图



Butterworth 高通



高频增强

§ 4.3 高通滤波

➤ 复习

➤ [题面] 对于低通和高通巴特沃斯滤波器不正确的叙述是：

- (A) 均有相同的截止频率
- (B) 均能减弱振铃效应
- (C) 均可用于消除虚假轮廓
- (D) 均比对应的理想滤波器的效果要好

➤ [答案] (A)，(C)。

§ 4.4 带通带阻滤波

► 低通解决不好的滤波问题

原始指纹



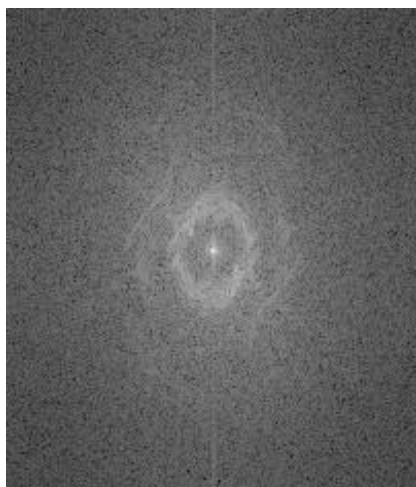
有干扰指纹1



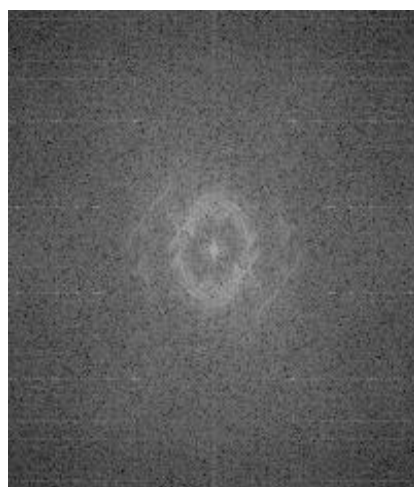
有干扰指纹2



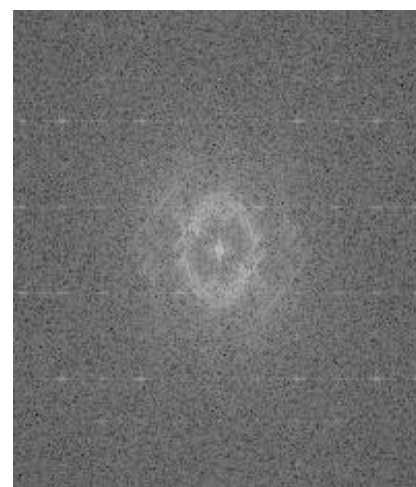
原始指纹频谱



有干扰指纹1频谱



有干扰指纹2频谱



§ 4.4 带通带阻滤波

➤ 高斯低通滤波器处理结果

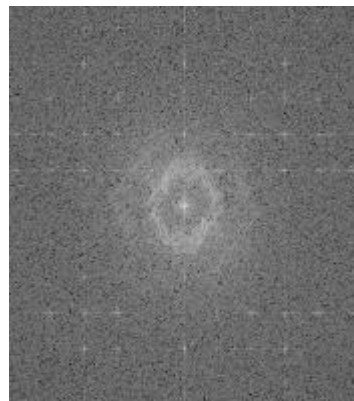
有干扰指纹2



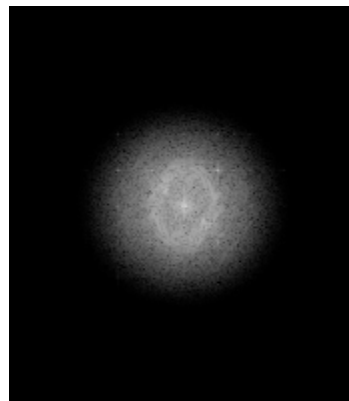
高斯低通滤波器 $\sigma=25.4951$



有干扰指纹2频谱



滤波后图像频谱

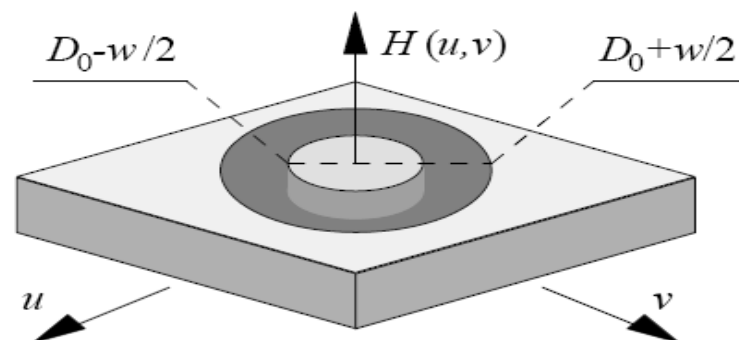
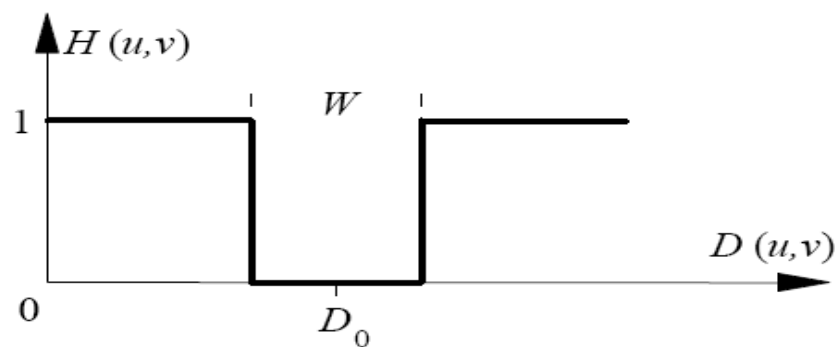


§ 4.4 带通带阻滤波

➤ 带阻滤波器

➤ 阻止一定频率信号（允许其它频率范围信号）

➤ 旋转对称



$$H(u, v) = \begin{cases} 1 & \text{如 } D(u, v) < D_0 - W/2 \\ 0 & \text{如 } D_0 - W/2 \leq D(u, v) \leq D_0 + W/2 \\ 1 & \text{如 } D(u, v) > D_0 + W/2 \end{cases}$$

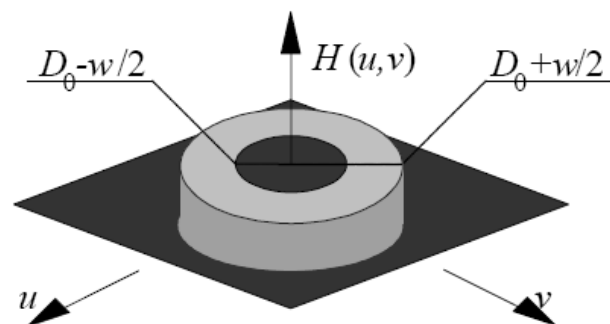
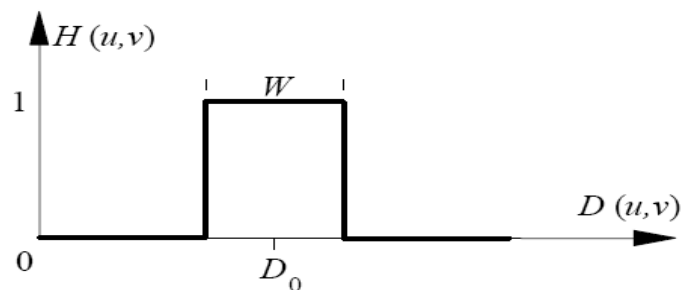
$$H(u, v) = \frac{1}{1 + \left[\frac{D(u, v)W}{D^2(u, v) - D_0^2} \right]^{2n}}$$

§ 4.4 带通带阻滤波

➤ 带通滤波器

- 与带阻滤波器互补，允许一定频率信号（阻止其它频率信号）

- 旋转对称



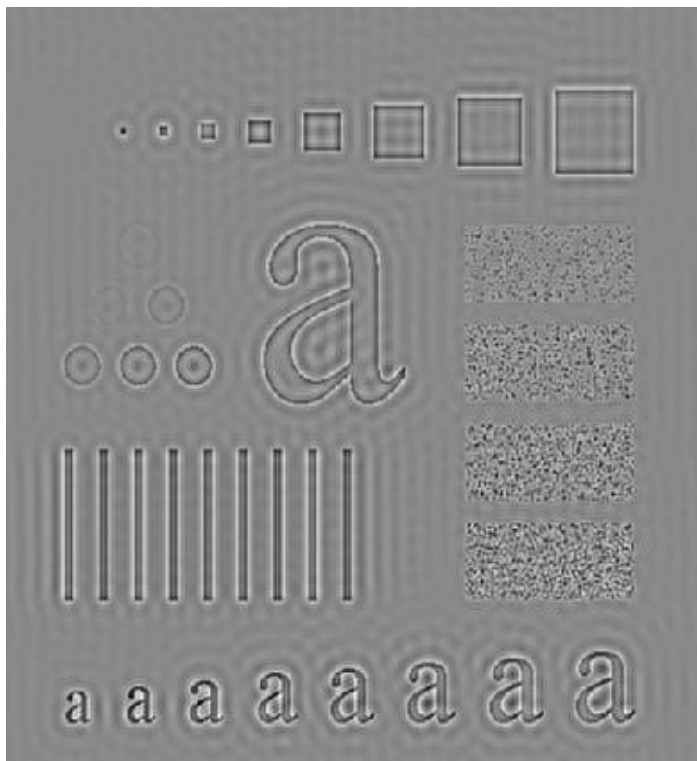
$$H(u, v) = \begin{cases} 0 & \text{如 } D(u, v) < D_0 - W/2 \\ 1 & \text{如 } D_0 - W/2 \leq D(u, v) \leq D_0 + W/2 \\ 0 & \text{如 } D(u, v) > D_0 + W/2 \end{cases}$$

$$H(u, v) = \frac{1}{\left[\frac{D^2(u, v) - D_0^2}{D(u, v)W} \right]^{2n} + 1}$$

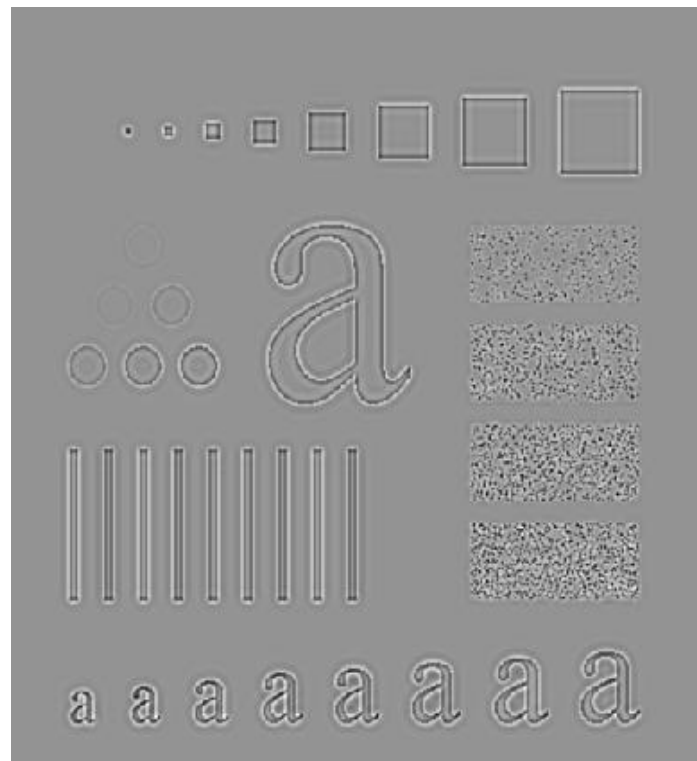
§ 4.4 带通带阻滤波

➤ 带通滤波器实验结果

理想带通滤波器宽度=120中心=100



巴特沃斯带通滤波器宽度=120中心=100



§ 4.5 同态滤波

➤ 基本概念

- 同态滤波是在频域中同时压缩动态范围并增强局部对比度，来实现图象增强的方法。

➤ 同态滤波器设计思想

- 当用照相机采集具有很大的动态范围的景观，例如阳光灿烂时的风景照，由于底片的动态范围比较窄，照片中的对比度要降低很多。这个现象在亮区或暗区会尤其明显。图可以认为是记录了受照物体的反射光，因此可以将其分成两部分 $f(x,y)=i(x,y)\cdot r(x,y)$
- 前一部分表示入射光照， r 表示反射光。一般假定入射光的动态范围很大但变化缓慢，而反射光部分变化迅速，它确定了图的细部和局部的对比度。因此补救办法应该是减少 $i(x,y)$ 并同时增加 $r(x,y)$ 。

§ 4.5 同态滤波

➤ 设计实现—续

- 空域中的乘积关系变到频域后不便处理，因此先将其变成相加关系然后再变到频域，经过处理后再变回来。对数运算完成这一功能。
 - $\log f(x,y) = \log I(x,y) + \log I(x,y)$
- 取对数后，图像灰度变化的趋势不变，即 $\log I(x,y)$ 大动态范围、缓慢变化， $\log R(x,y)$ 变化迅速。
- 在频域用高通滤波减少低频信号 $I(x,y)$ 的影响，然后再反变换并取指数可以达到预期效果

§ 4.5 同态滤波

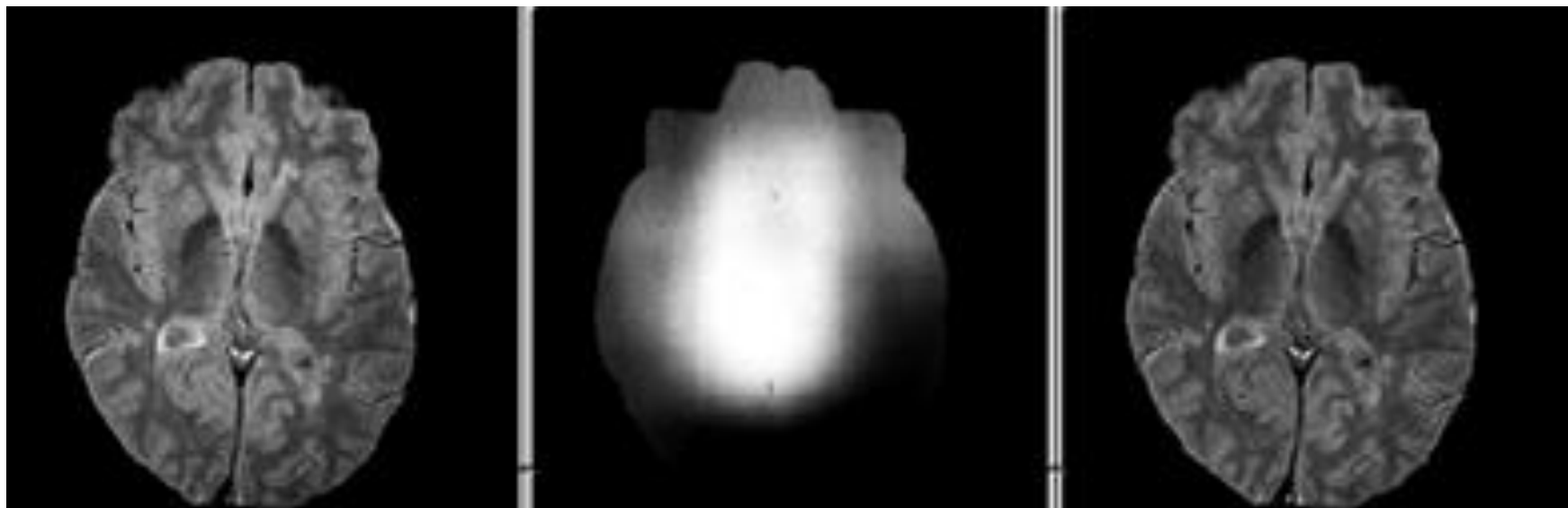
➤ 同态滤波器设计思想图示



- 先进行对数运算，然后再进行线性运算，最后以指数运算结束，称之为乘法同态系统。用这类系统进行滤波叫同态滤波。其中取对数的目的使信号满足线性系统的要求，取指数使其变回来。

§ 4.5 同态滤波

➤ 同态滤波示例

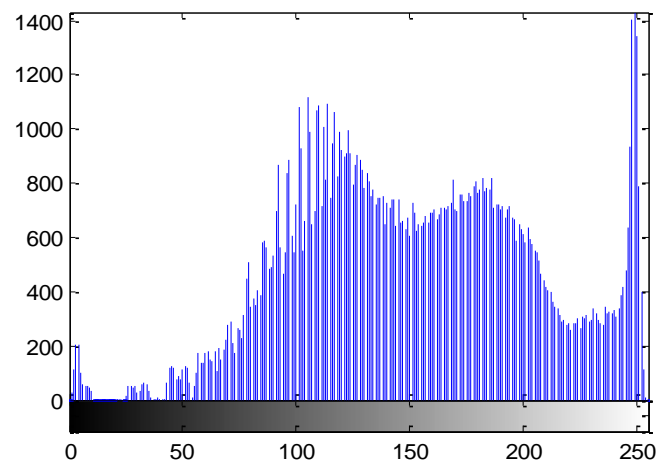
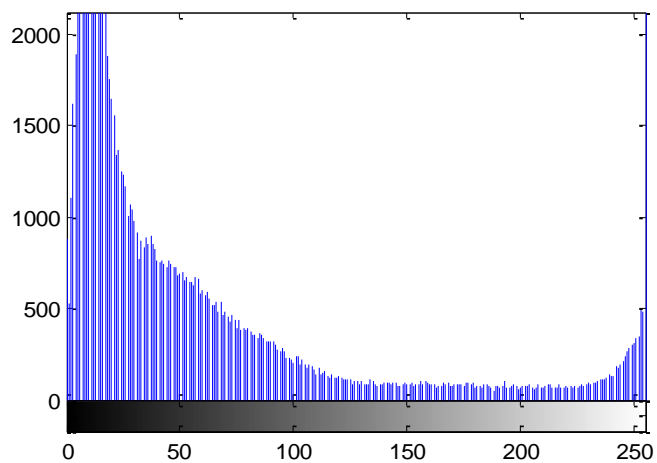


原图

同态低通滤波结果

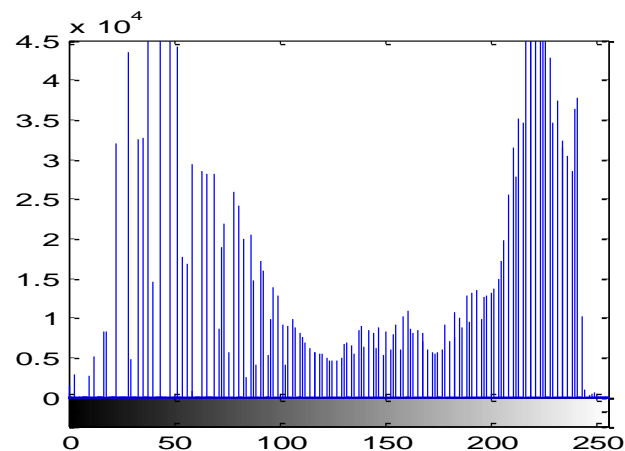
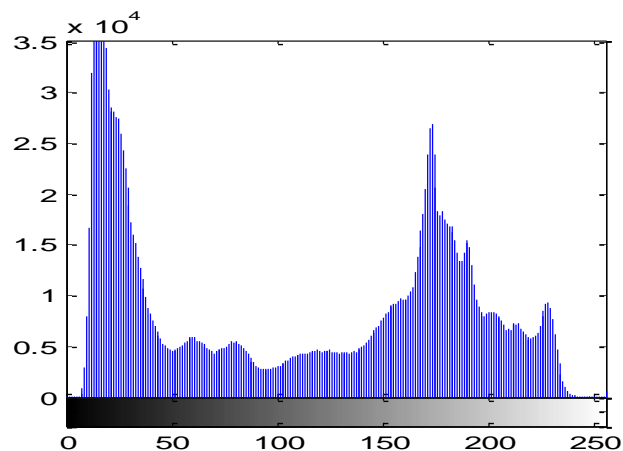
除低频信号后

§ 4.5 同态滤波



§ 4.5 同态滤波

➤ 同态滤波的结果



§ 4.6 局部增强

➤ 基本概念

- 实际应用中常常需要对图象某些局部区域的细节进行增强
- 局部增强方法比全局增强方法在具体进行增强操作前多了一个选择/确定局部区域的步骤

➤ 局部增强效果 (7×7 的子图象)



§ 4.6 局部增强

► 局部直方图自适应增强

原始图像



直方图均衡图像



自适应直方图均衡图像



§ 4.6 局部增强

➤ 简化局部统计特性增强算法举例

➤ 利用每个像素邻域内像素的均值和方差

$$\text{➤ } g(x, y) = A(x, y)[f(x, y) - m(x, y)] + m(x, y)$$

➤ 局部增益函数

$$A(x, y) = k \frac{m(x, y)}{\sigma(x, y)} \quad 0 < k < 1$$

➤ $A(x, y)$ 反比于均方差，与 $f(x, y)$ 和 $m(x, y)$ 的差相乘能放大图象的局部变化，对比度较小的区域得到的增益较大

§ 4.6 局部增强

➤ 处理结果对比



- 上图：原始图像
- 右上：局部直方图自适应均衡
- 右下：简化局部统计特征增强

§ 本章小结

- 频域处理的基本概念
- 低通频域处理
 - 理想滤波器、巴特沃斯滤波、高斯滤波
 - 低通滤波应用
- 高通频域处理
 - 理想滤波器、巴特沃斯滤波、高斯滤波
 - 高通滤波应用
 - 拉普拉斯滤波、高频提升、高频增强
- 带通滤波
- 同态滤波